Física do spin

F.S. Navarra

navarra@if.usp.br

Richard Terra (monitor)

richard.terra@usp.br

edisciplinas.if.usp.br

(buscar: física do spin)

Plano do curso

- 13/03 aula 1: Partículas elementares e idéias da física quântica
- 20/03 aula 2: Átomo de Bohr, quantização do momento angular
- 27/03 aula 3: Momento de dipolo magnético, Stern Gerlach
- 10/04 aula 4: Efeito Zeeman anômalo
- 17/04 1ª Prova
- 24/04 aula 5: Equações de autovalores, matrizes de Pauli
- 08/05 aula 6: Comutadores, medidas SG sequenciais
- 15/05 aula 7: Medidas e valores médios
- 22/05 aula 8: Precessão de Larmor
- 29/05 aula 9: Adição de spins

05/06 2° Prova

12/06 aula 10: Princípio da exclusão de Pauli

19/06 aula 11: Interação hiperfina no hidrogênio

26/06 aula 12: EPR (Raphael)

03/07 aula 13: RMN (Paulo)

10/07 3° Prova

Avaliação:

17/07 Sub

Três provas: P1 P2 P3

Média das duas melhores : $P = (P_i + P_j)/2$

Substitutiva aberta

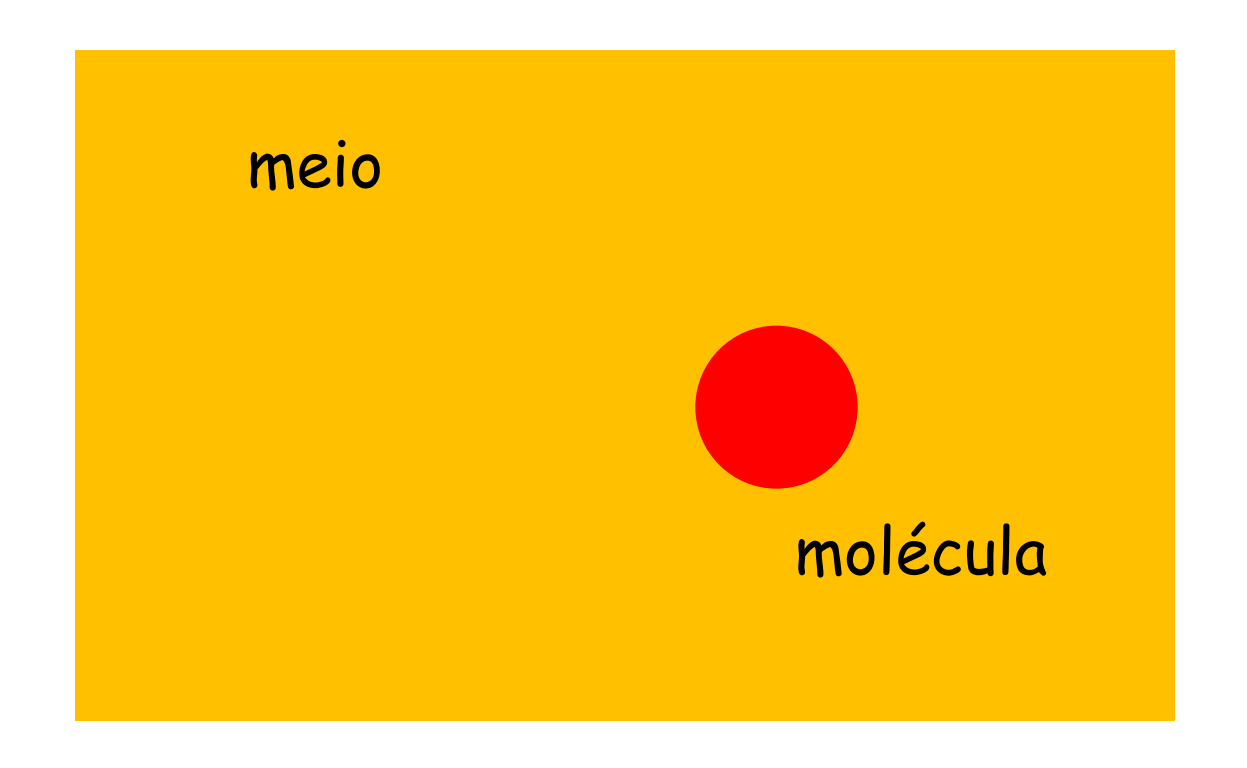
Aula 13

Resonância Magnética Nuclear (RMN)

Introdução

Nuclear Magnetic Resonance (NMR) ou Resonância Magnética Nuclear (RMN)

Isidor Rabi (1938)





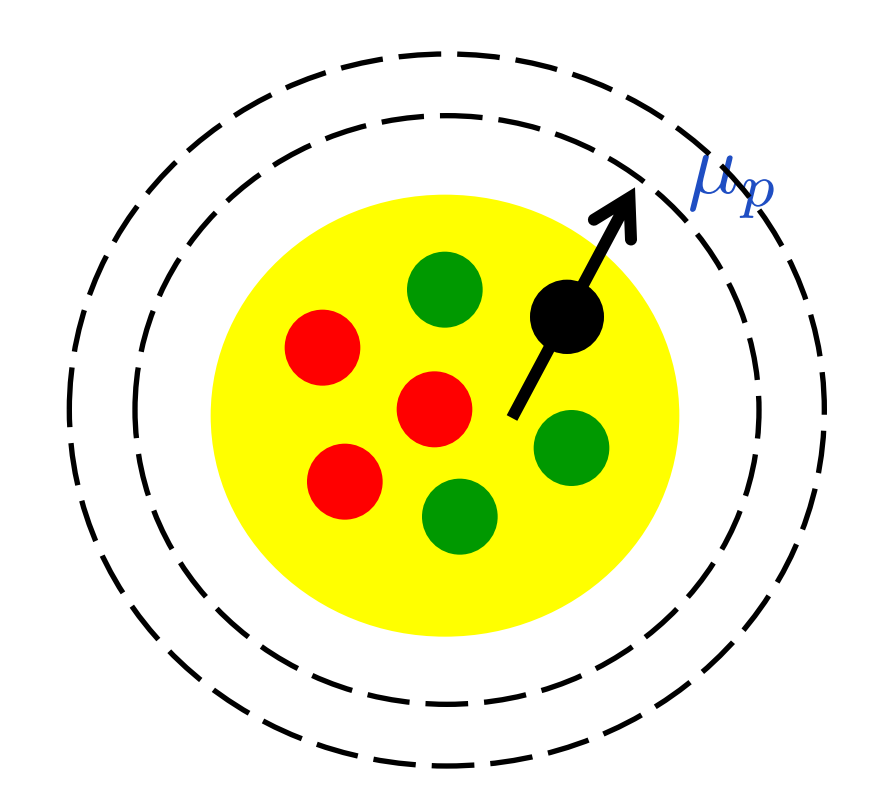
RMN: identificação e determinação das propriedades do meio ou da molécula

O que se faz no laboratório?





próton desemparelhado (hidrogênio)



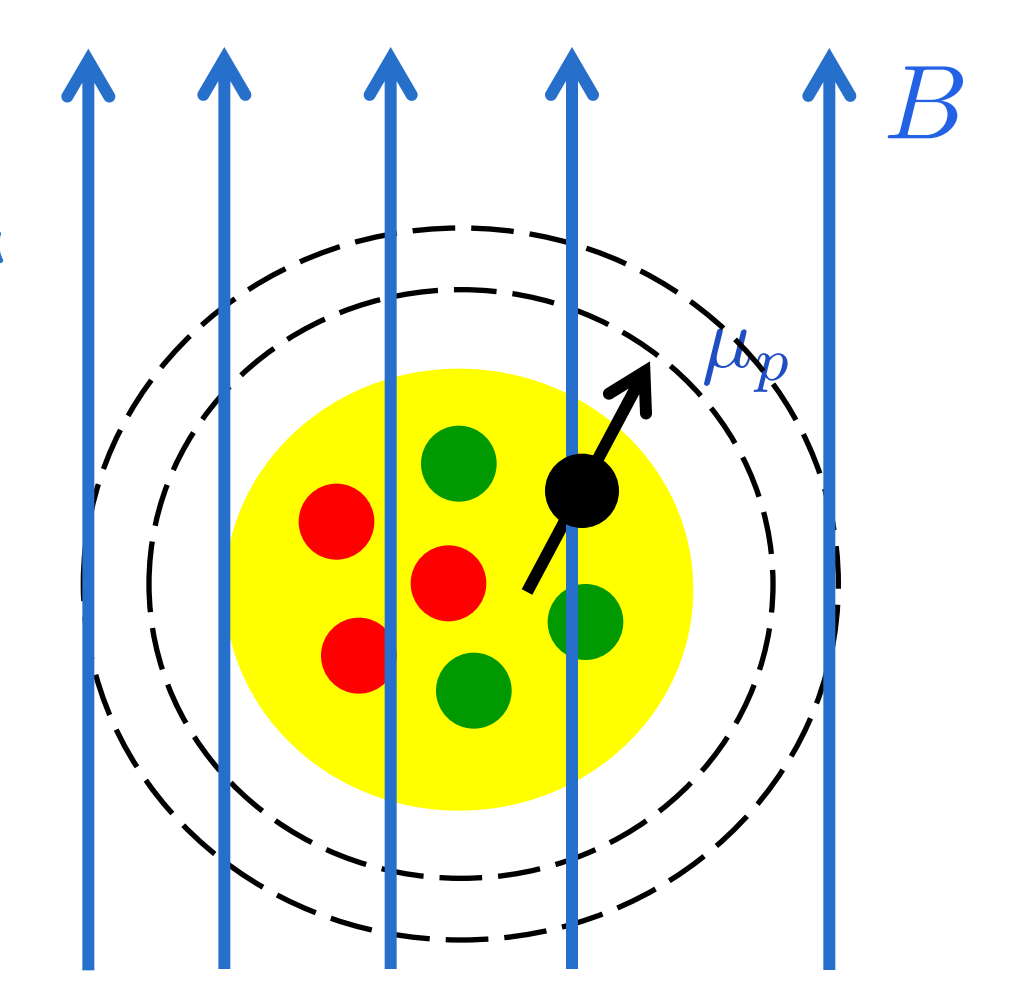
O que se faz no laboratório?



Colocamos a substância num campo magnético



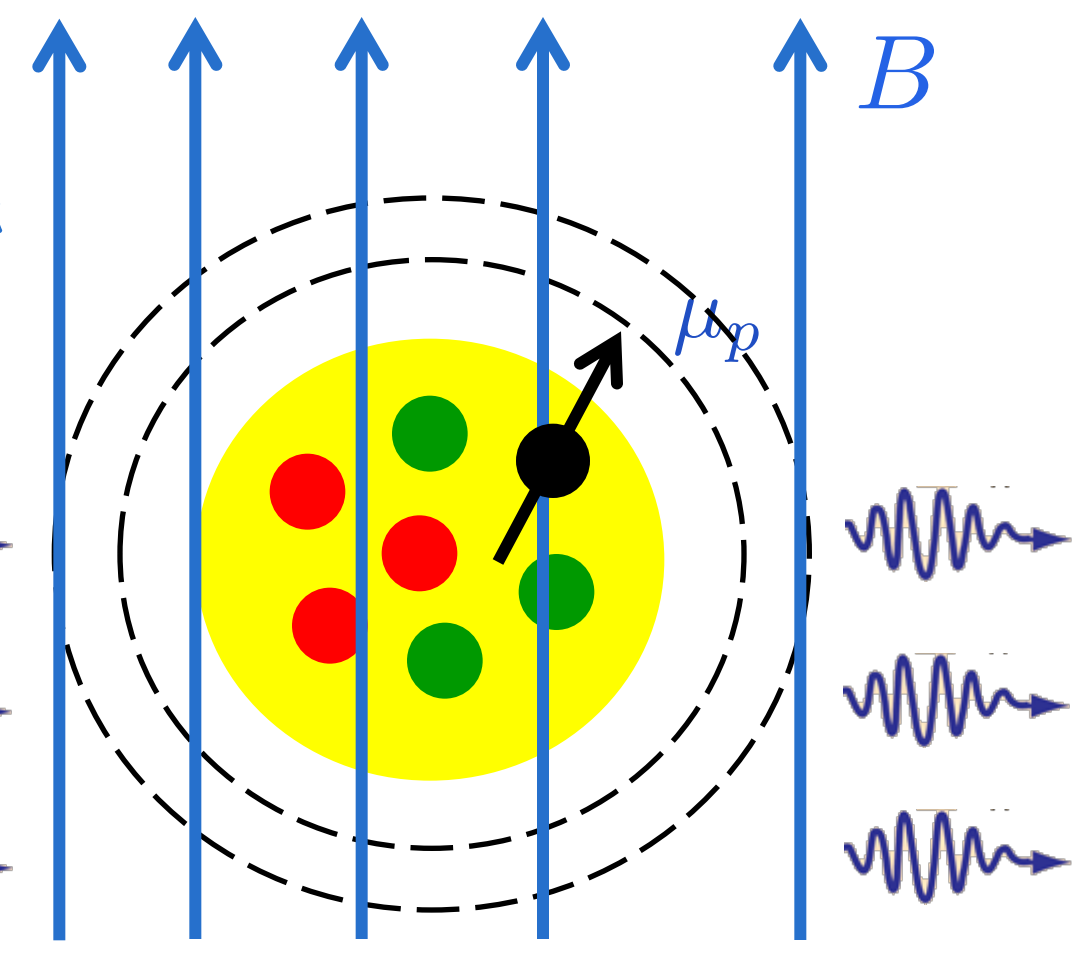
próton desemparelhado (hidrogênio)



O que se faz no laboratório?

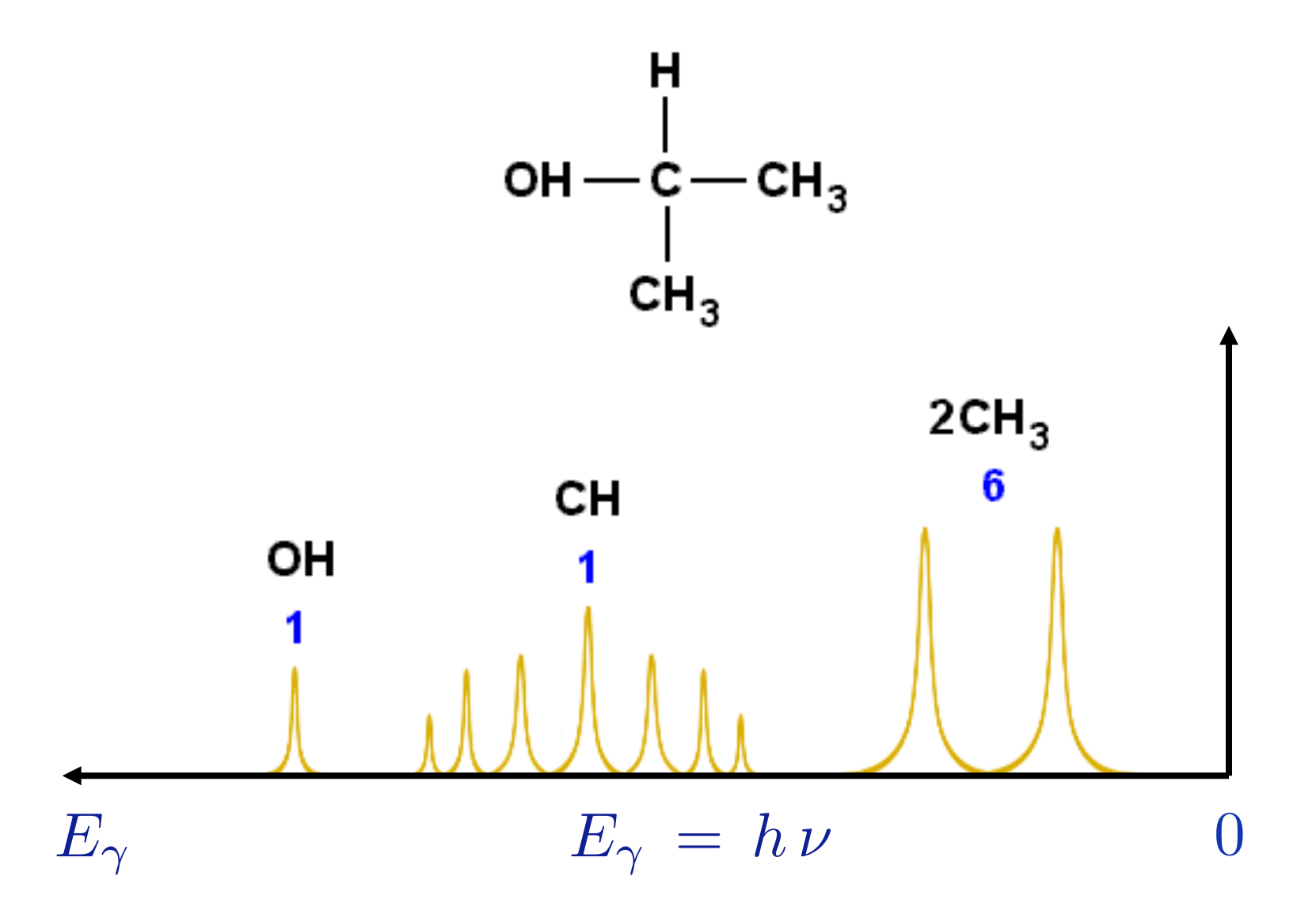


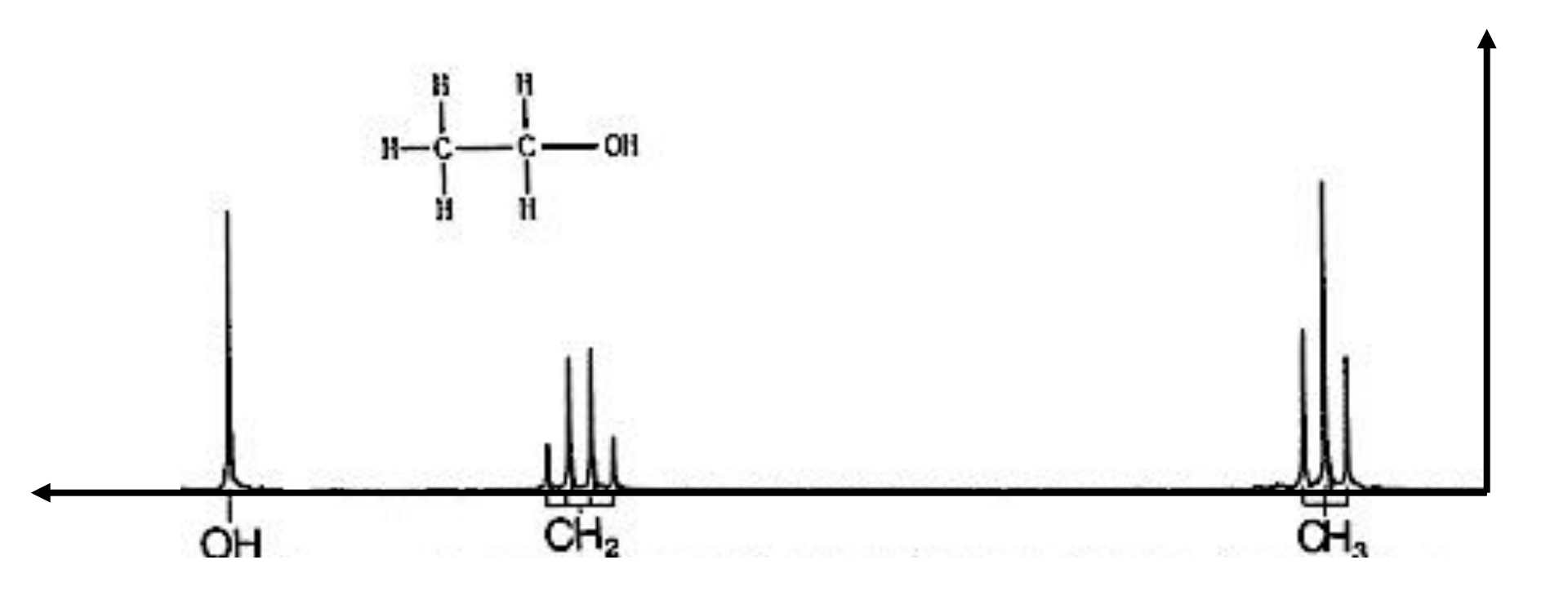
Irradiamos a substância com radiofrequência



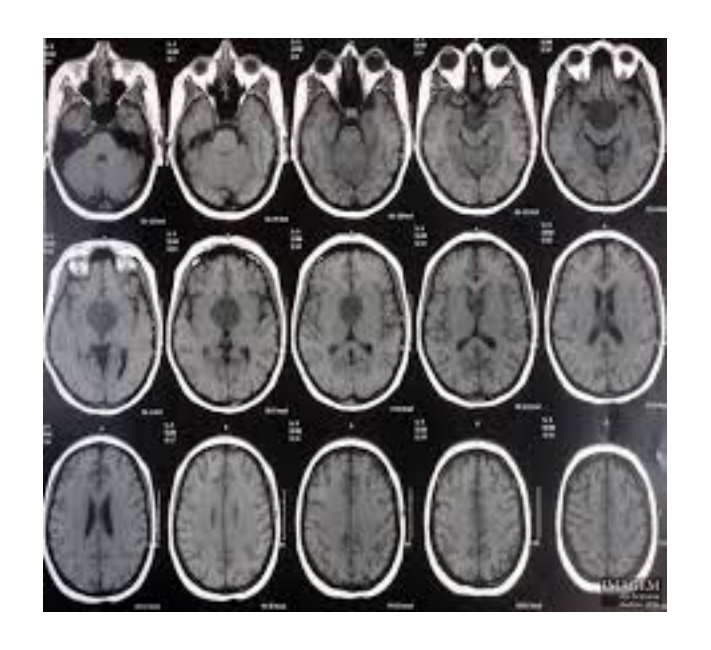
Espectroscopia

Determinação da estrutura de moléculas orgânicas





Imagens





$$U = -\vec{\mu} \cdot \vec{B} \qquad \longrightarrow \qquad U = -\mu_z B$$

$$U = -\vec{\mu} \cdot \vec{B} \qquad \longrightarrow \qquad U = -\mu_z B$$

$$\mu_z = + \frac{g_s \,\mu_b}{\hbar} \, S_z = + \frac{g_s \,\mu_b}{\hbar} \, m_s \,\hbar = + g_s \,\mu_b \, m_s$$

$$U = -\vec{\mu} \cdot \vec{B} \qquad \longrightarrow \qquad U = -\mu_z B$$

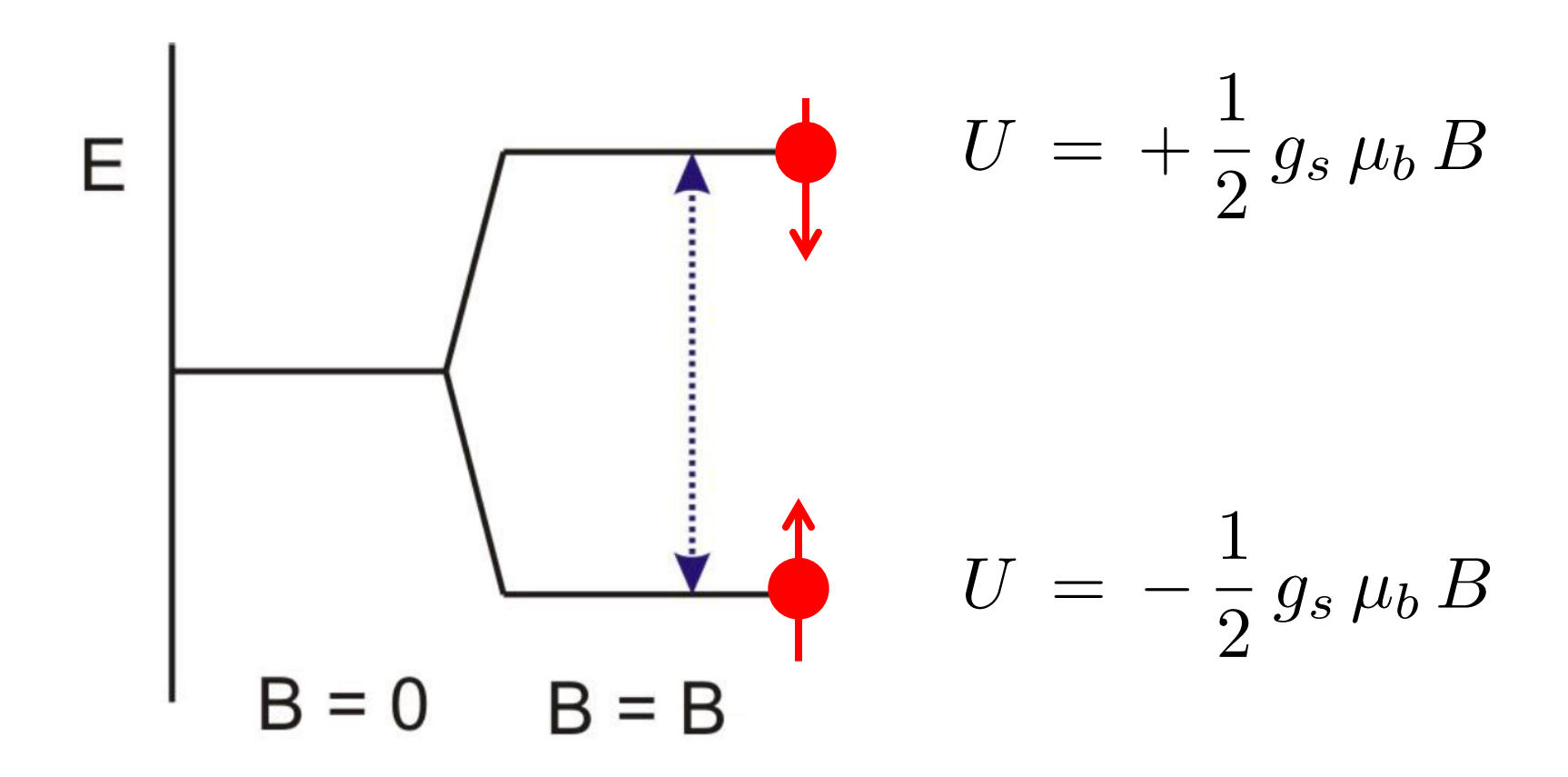
$$\mu_z = +\frac{g_s \,\mu_b}{\hbar} \, S_z = +\frac{g_s \,\mu_b}{\hbar} \, m_s \,\hbar = +g_s \,\mu_b \, m_s$$

$$U=-\,g_s\,\mu_b\,m_s\,B \qquad egin{cases} \mu_b=rac{e\,\hbar}{2\,m_p} & ext{ "magneton} \ g_p=5.5 & ext{ próton} \end{cases}$$

$$U = -g_s \,\mu_b \, m_s \, B$$

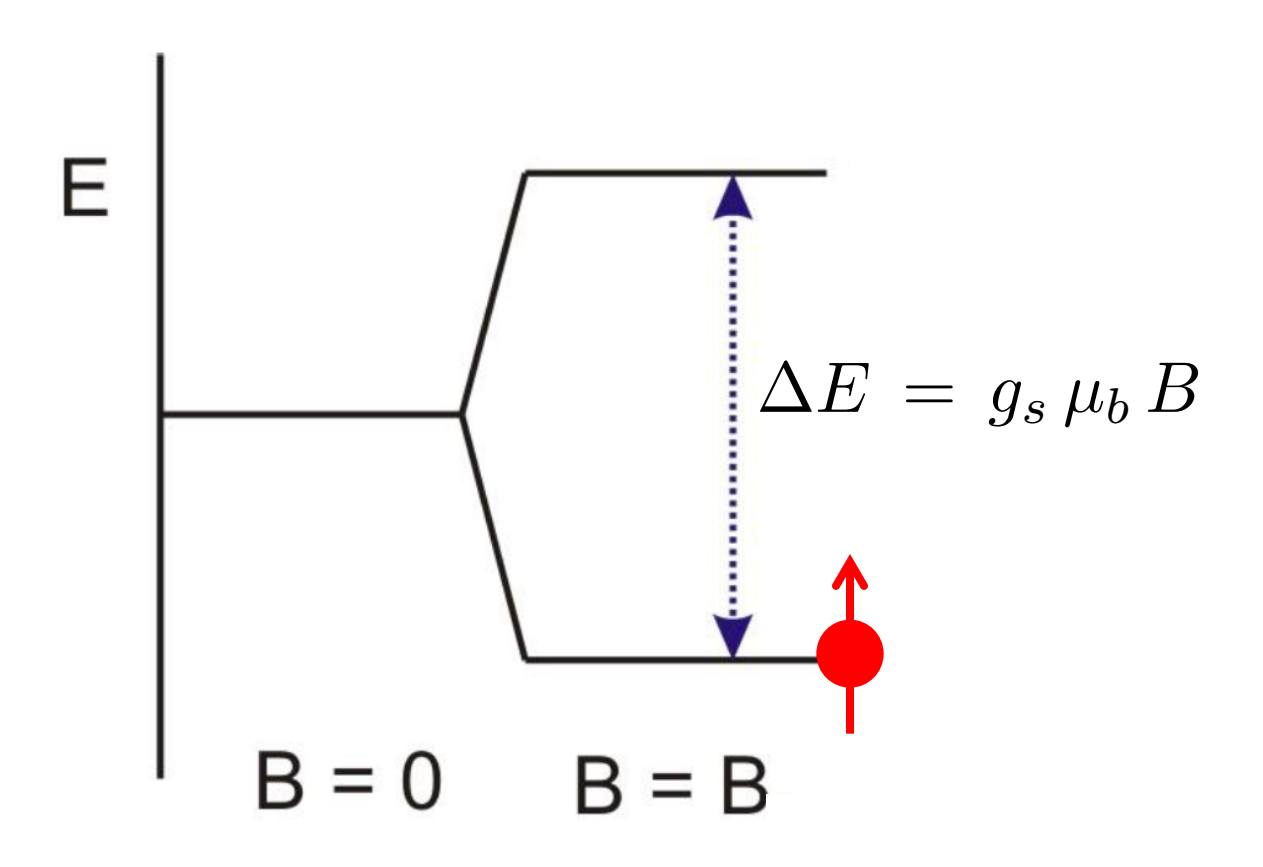
$$U = -g_s \,\mu_b \, m_s \, B$$

$$\begin{cases}
U = -\frac{1}{2} g_s \mu_b B & m_s = +\frac{1}{2} \\
U = +\frac{1}{2} g_s \mu_b B & m_s = -\frac{1}{2} \\
\downarrow \rangle
\end{cases}$$

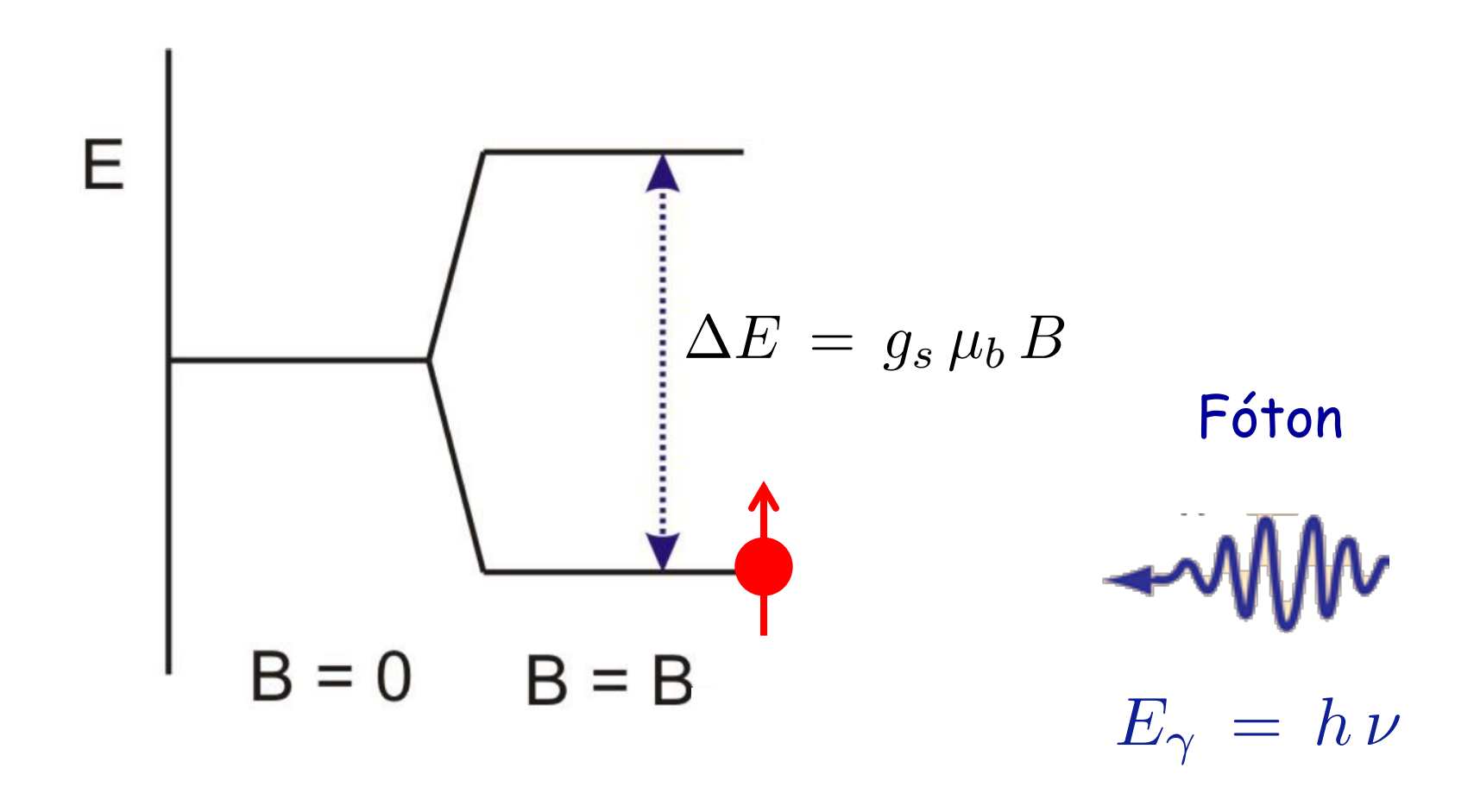


$$\Delta E = g_s \, \mu_b \, B$$

Transição de "spin-flip"



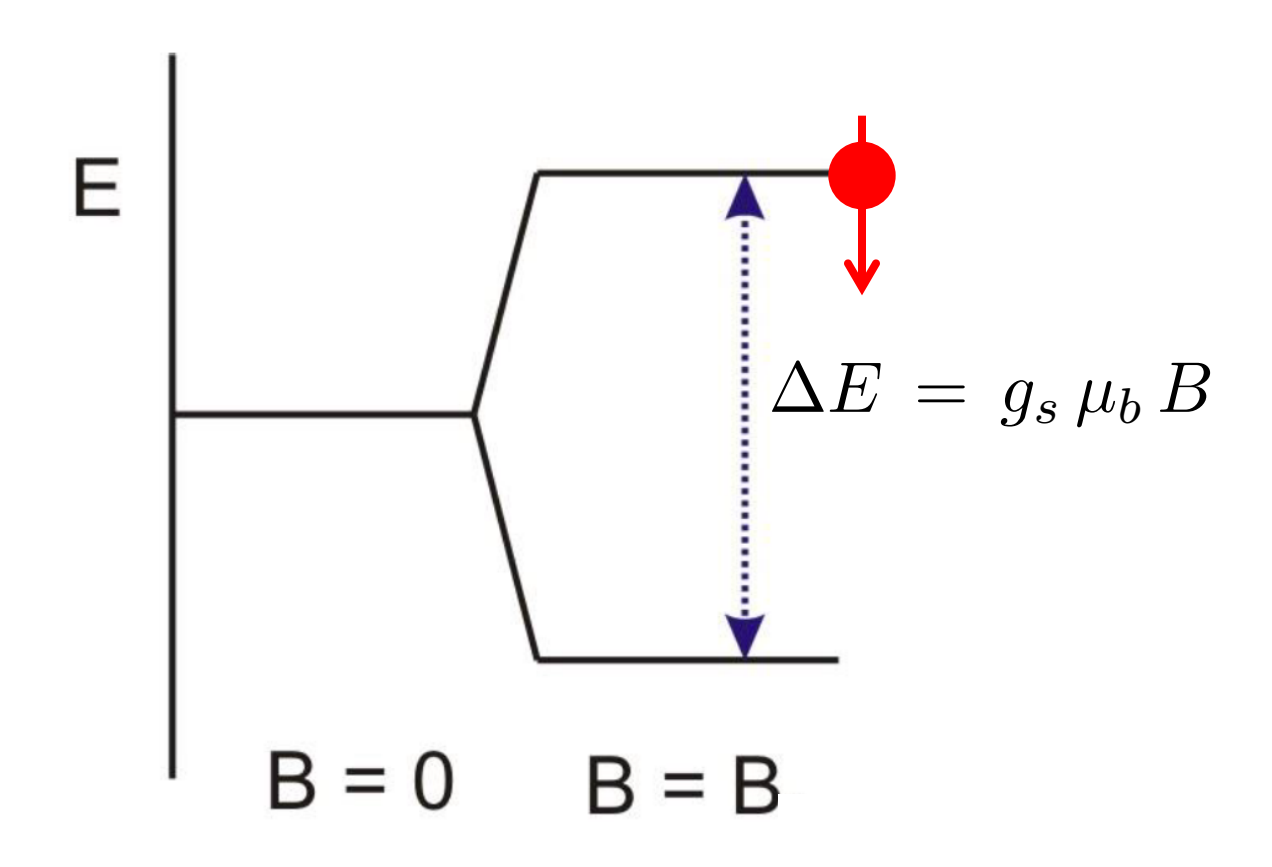
Transição de "spin-flip"



Transição:

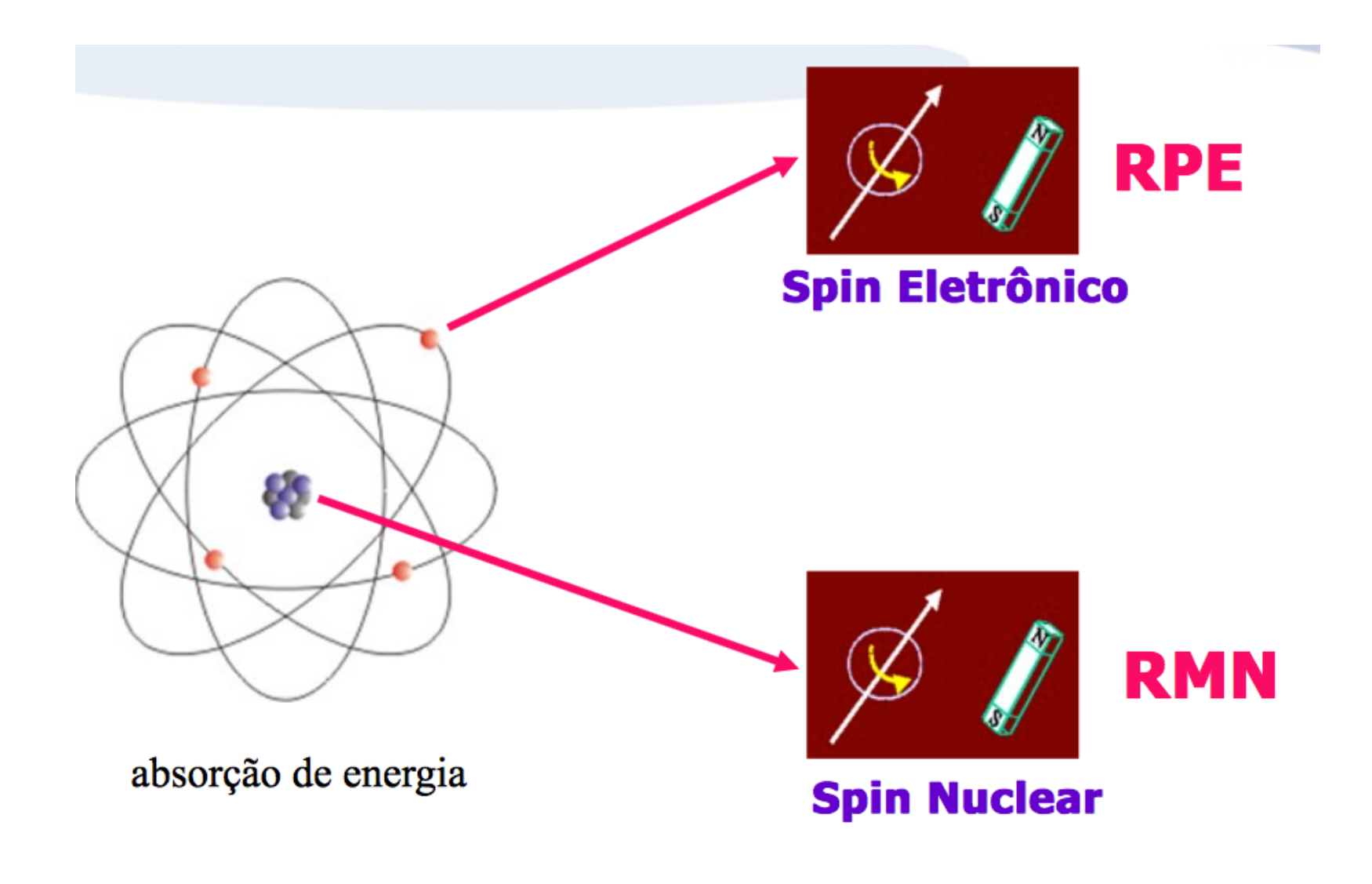
 $h\,\nu\,=\,g_s\,\mu_b\,B$

Transição de "spin-flip"



Transição:

 $h\,\nu\,=\,g_s\,\mu_b\,B$



$$\mu_{eletron} >> \mu_{proton}$$

$$\Delta E_{eletron} >> \Delta E_{proton}$$

EPR

NMR

elétron desemparelhado próton ou nêutron desemparelhado (hidrogênio)

campo magnético externo fraco

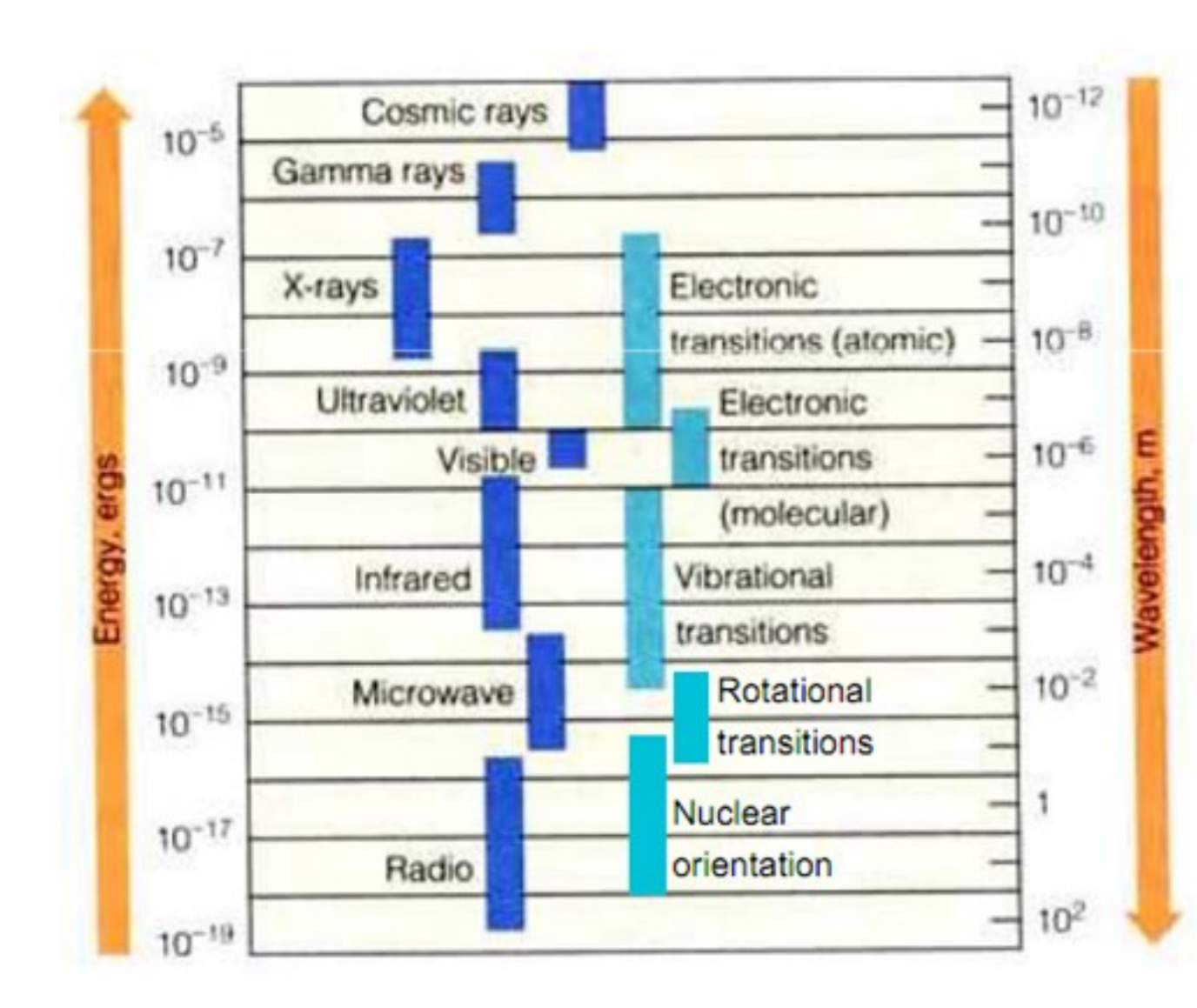
campo magnético externo forte

radiação externa de microondas

radiação externa de radiofrequência

frequência fixa campo B varia

campo B fixo frequência varia



EPR

NMR

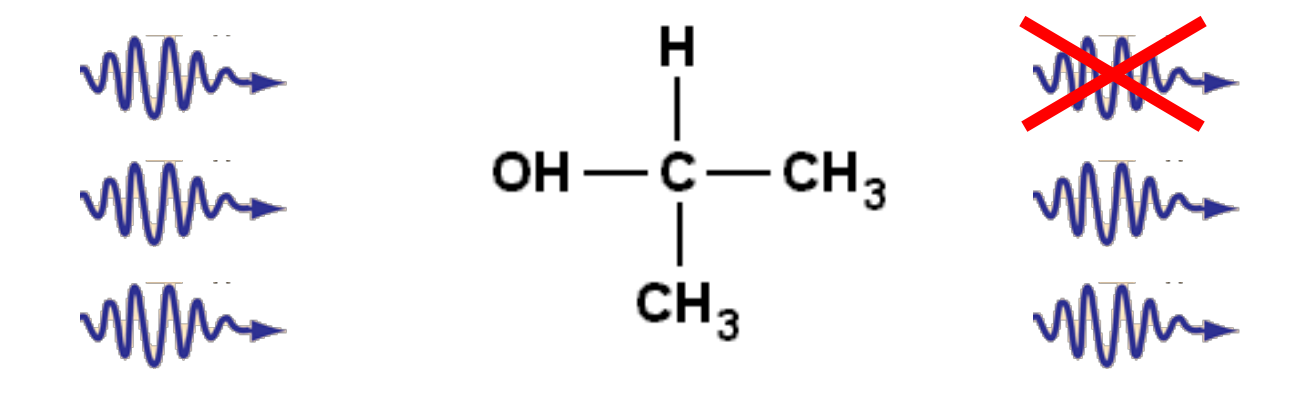
Vamos medir um pico de absorção em $\; \nu = \frac{g_p \, \mu_b \, B}{h} \;$

$$\nu = \frac{g_p \, \mu_b \, B}{h}$$

$$\Delta E = g_s \, \mu_b \, B$$

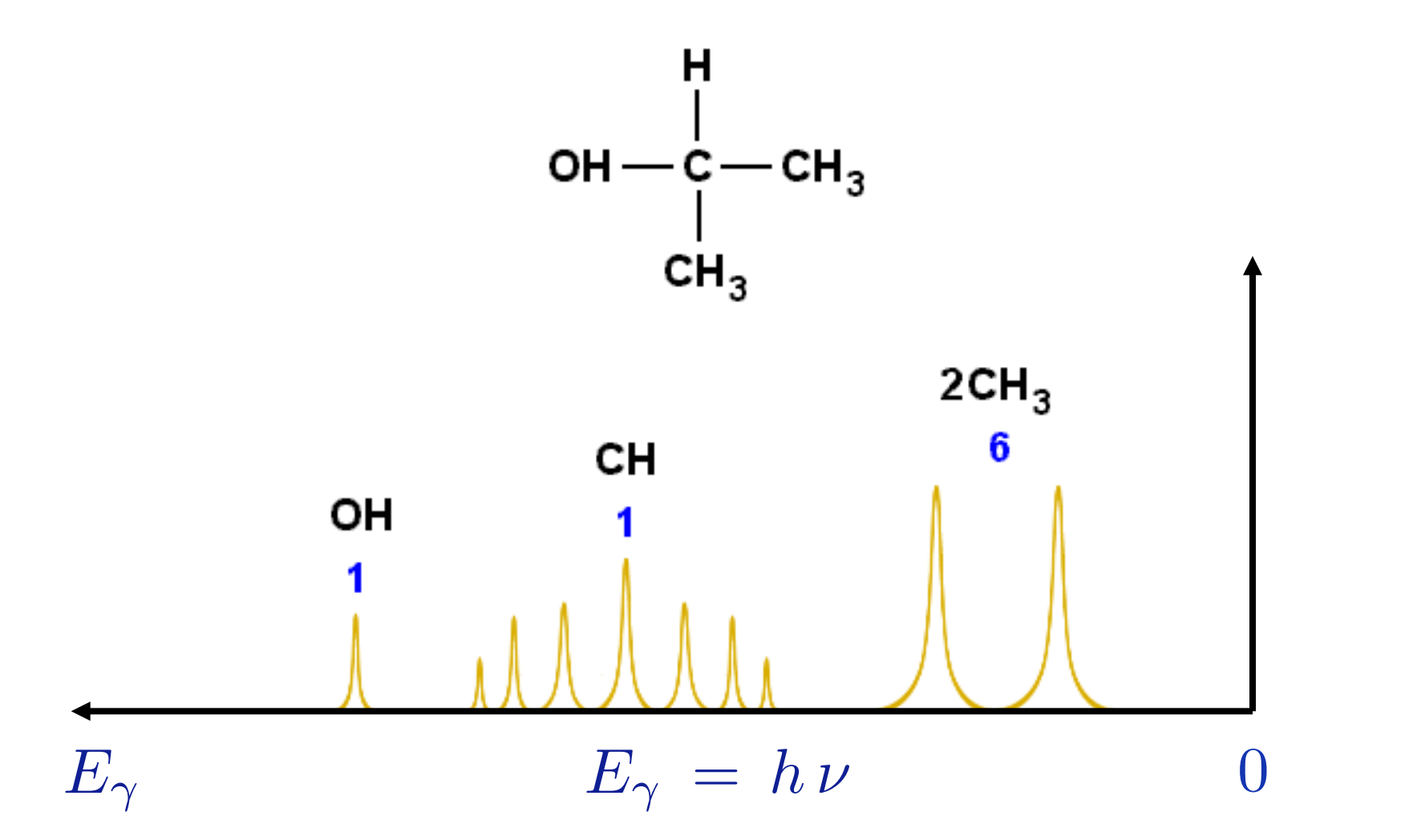
Vamos medir um pico de absorção em $\; \; \nu = \frac{g_p \, \mu_b \, B}{h} \;$

$$\nu = \frac{g_p \, \mu_b \, B}{h}$$



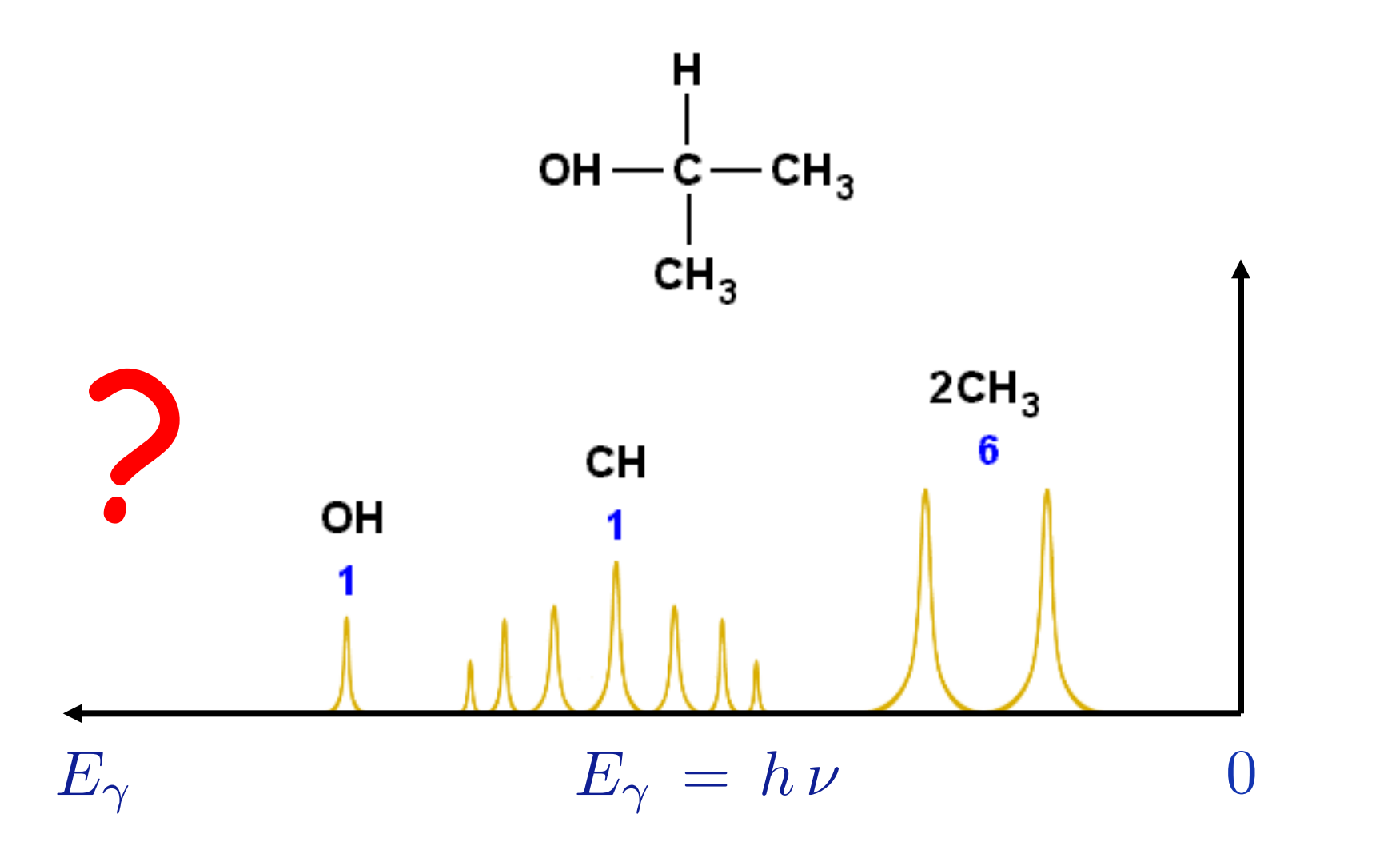
Vamos medir um pico de absorção em $\; \; \nu = \frac{g_p \, \mu_b \, B}{h} \;$

$$\nu = \frac{g_p \, \mu_b \, B}{h}$$

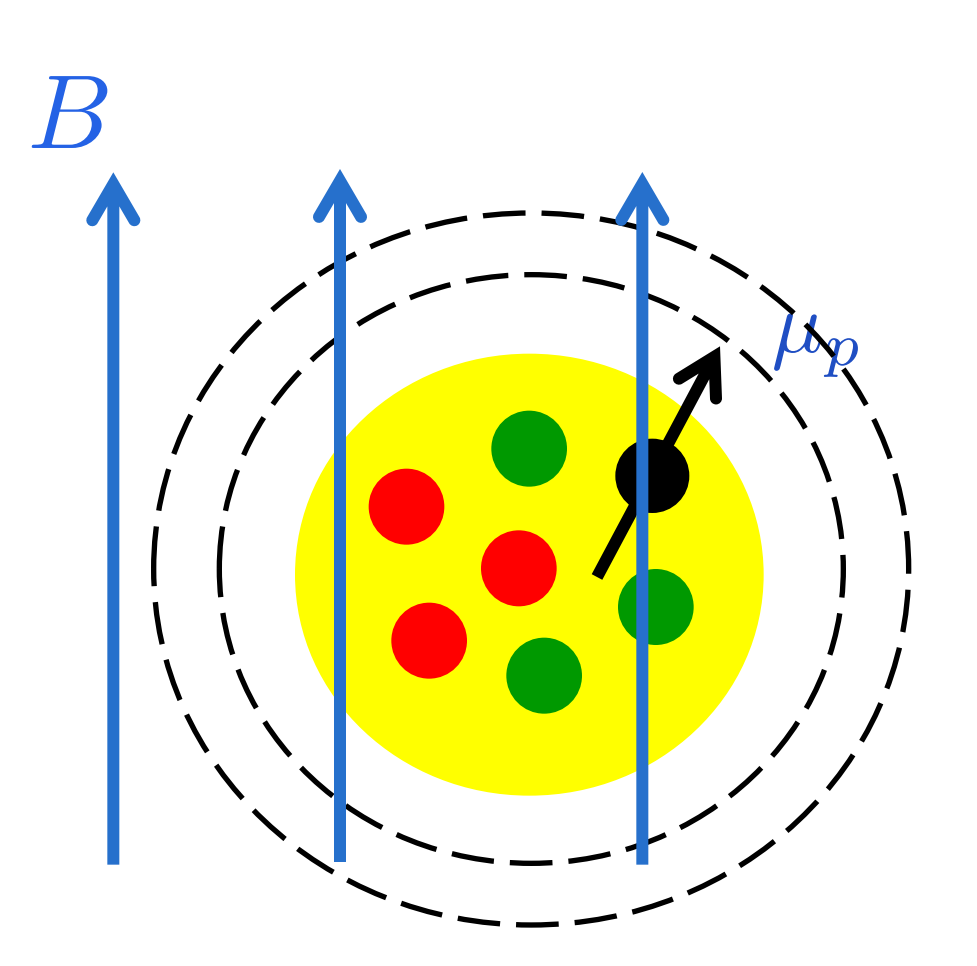


Vamos medir um pico de absorção em $\; \; \nu = \frac{g_p \, \mu_b \, B}{h} \;$

$$\nu = \frac{g_p \, \mu_b \, B}{h}$$



Campos Magnéticos Internos



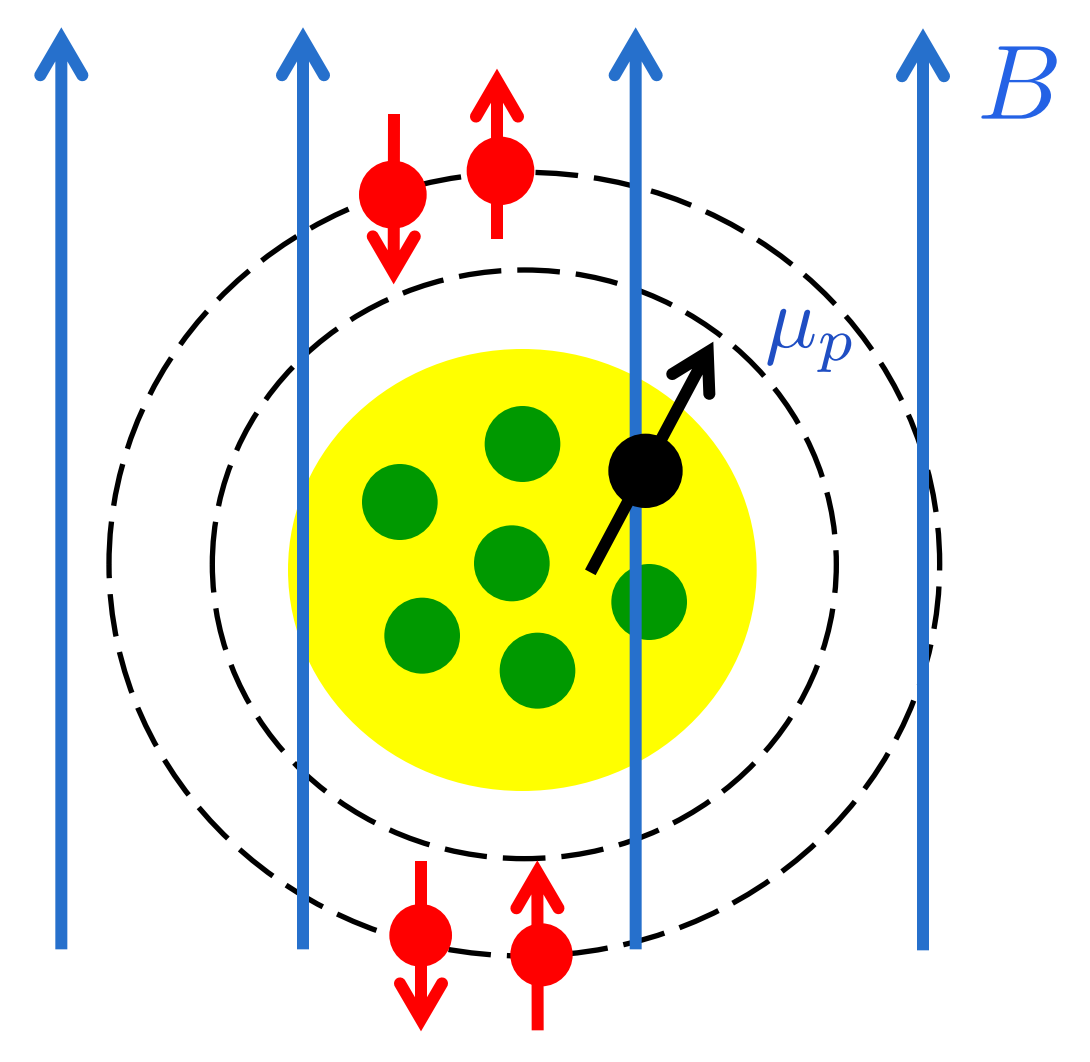
Spin dos nucleons

Momento angular dos nucleons

Spin dos eletrons

Momento angular dos eletrons

Momento angular dos eletrons

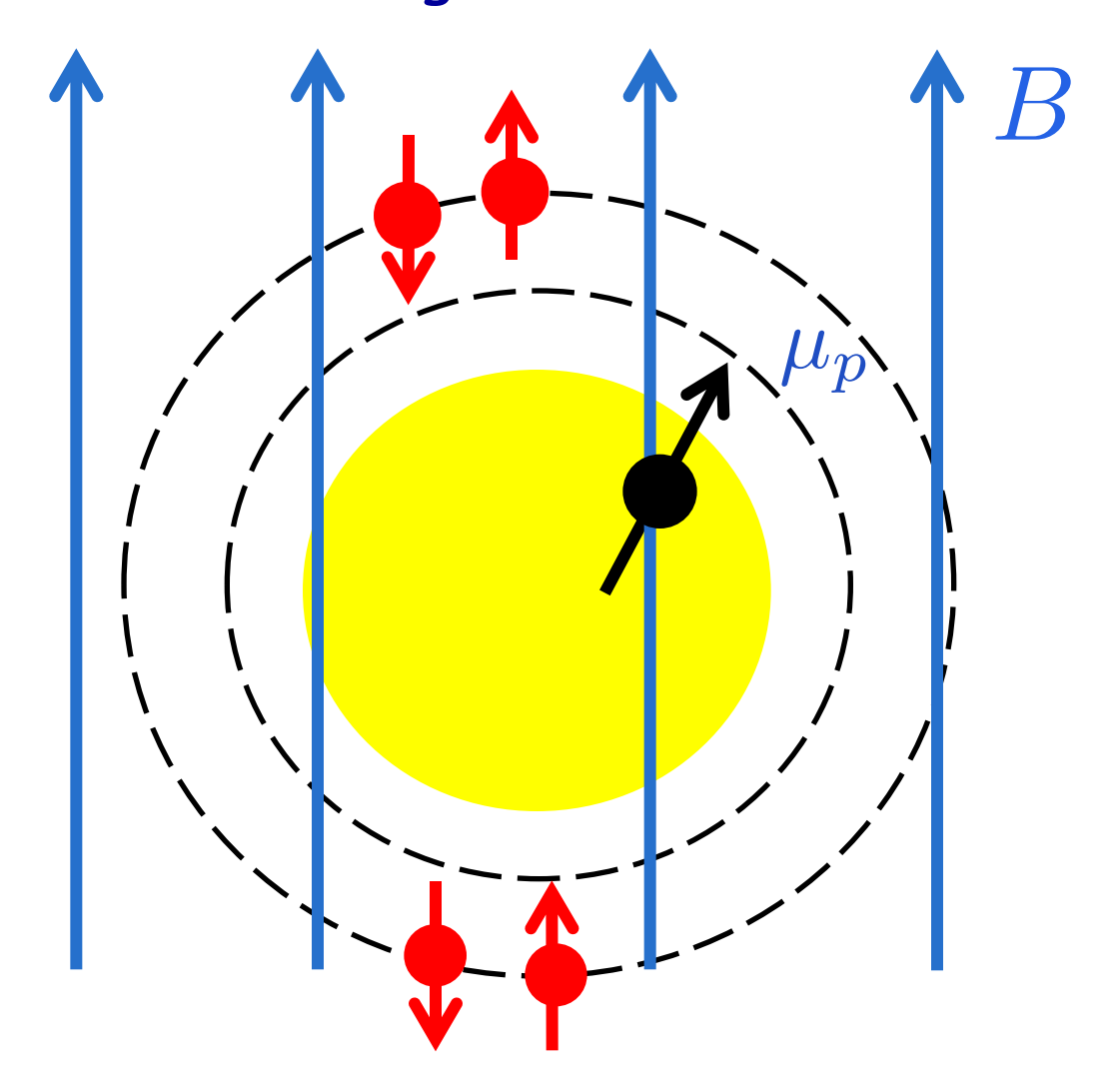


Spin total = 0

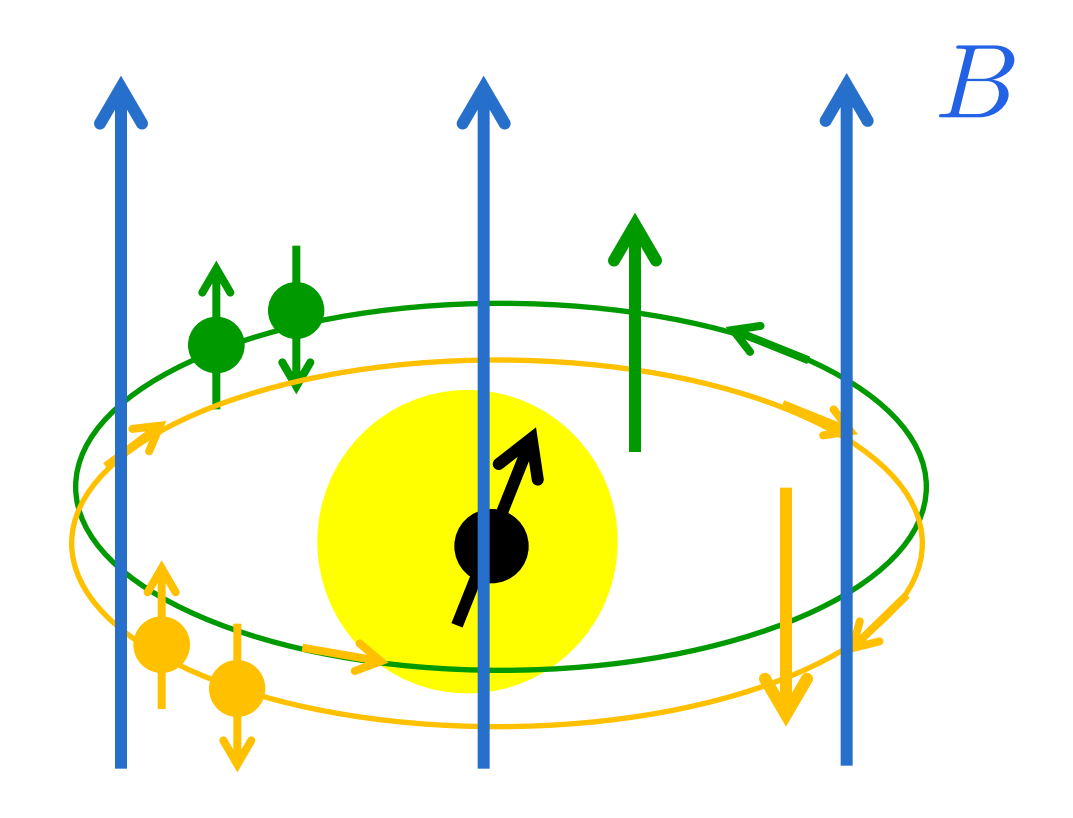
Spin total = 0

Momento angular total = 0

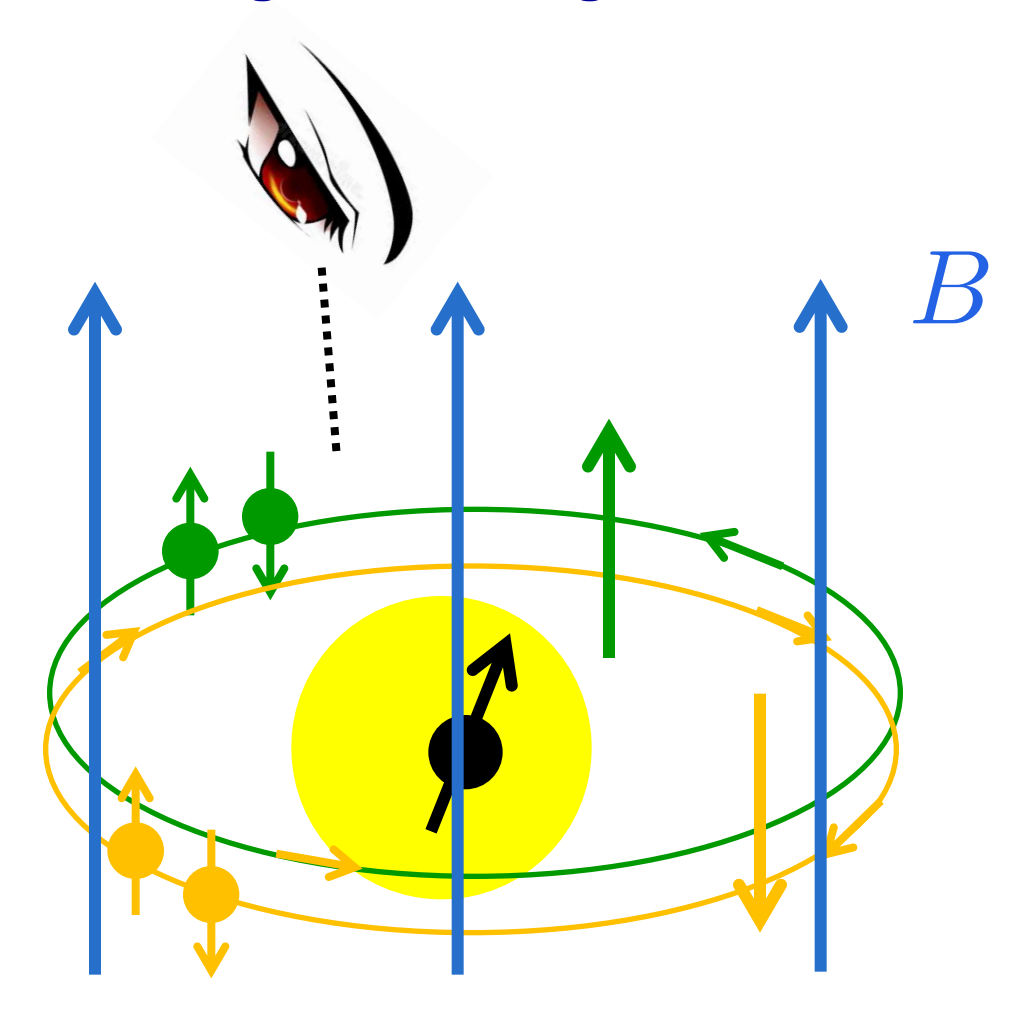
Momento angular dos eletrons



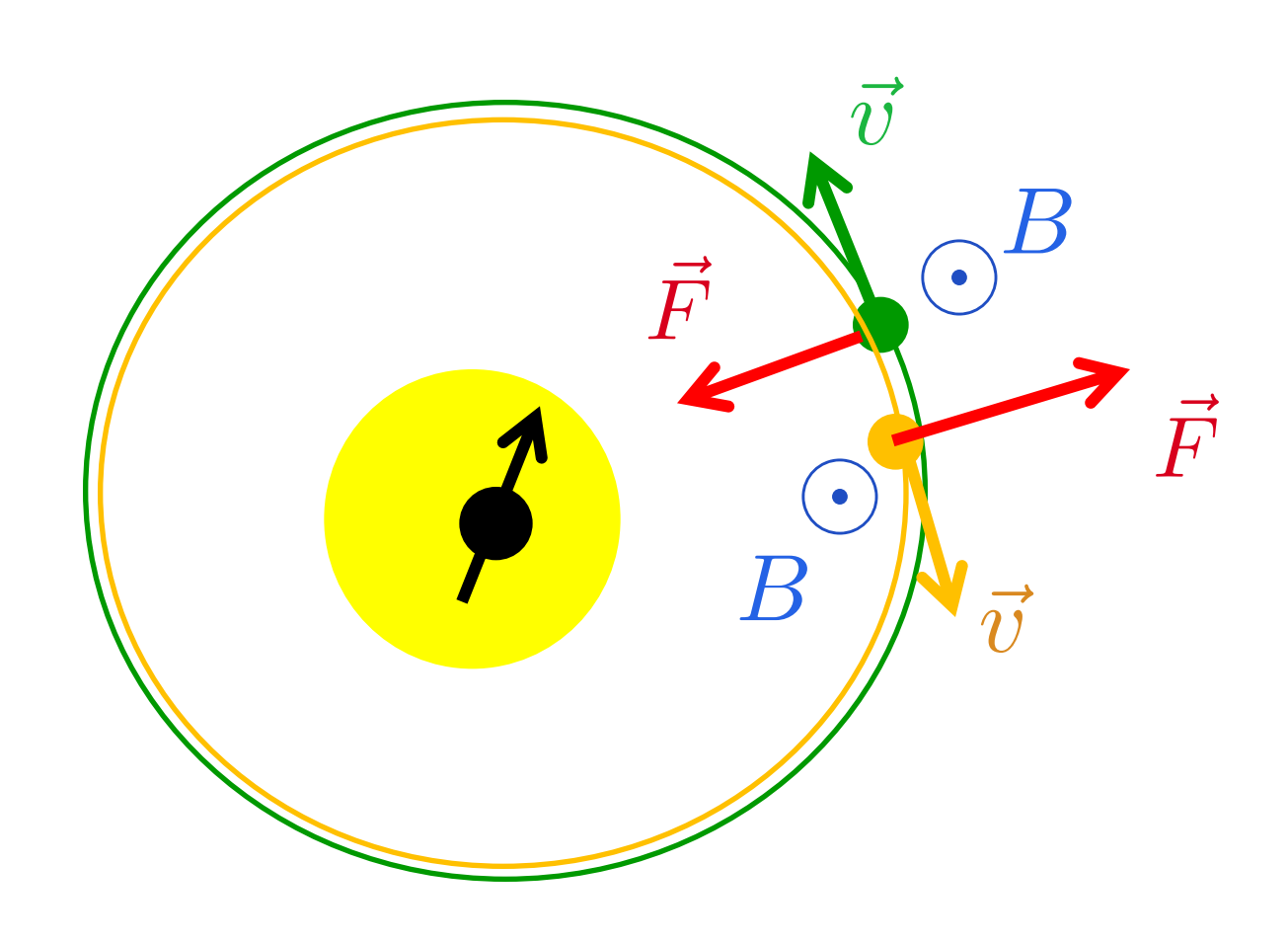
Blindagem diamagnética



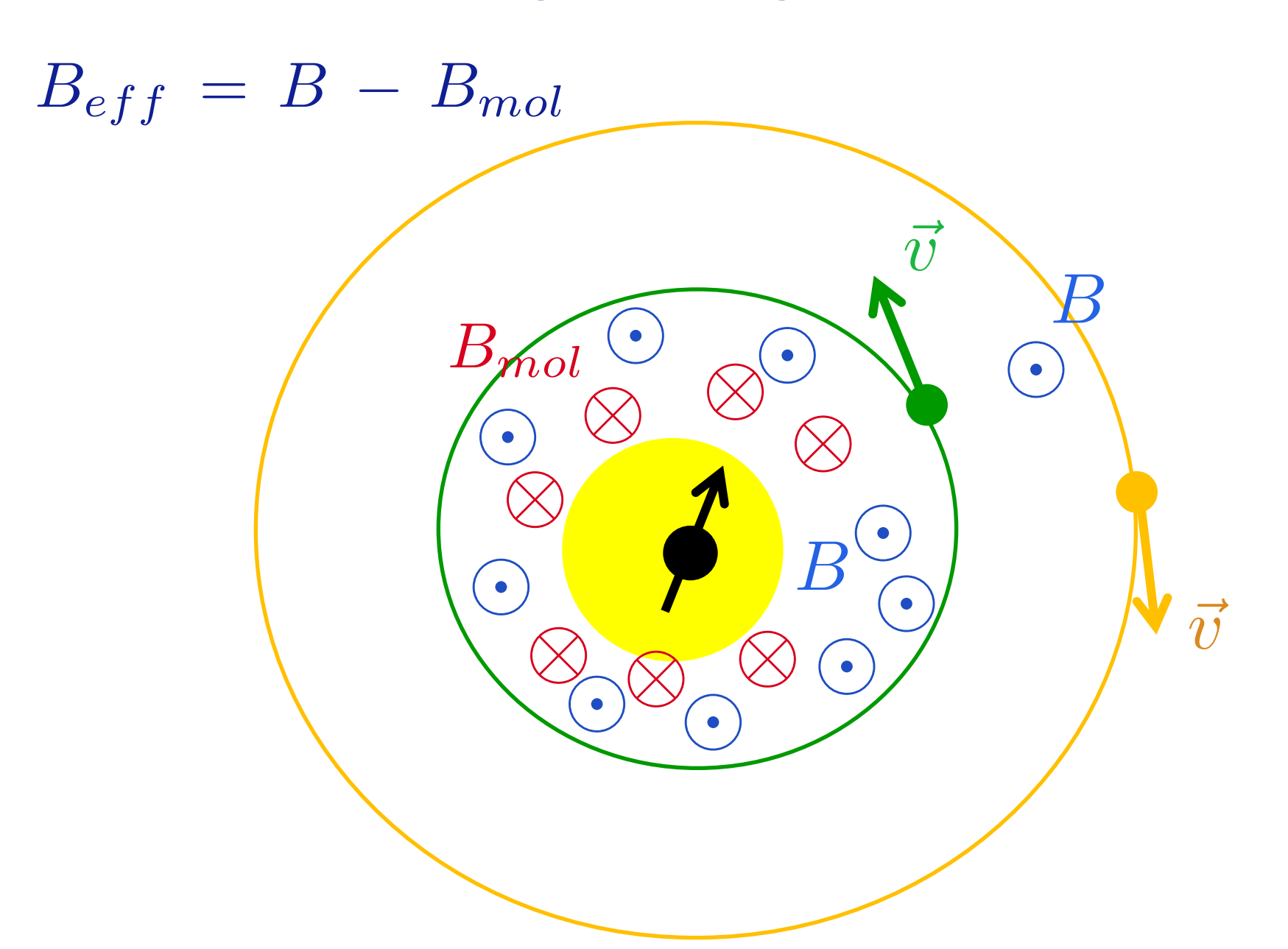
Blindagem diamagnética



Blindagem diamagnética

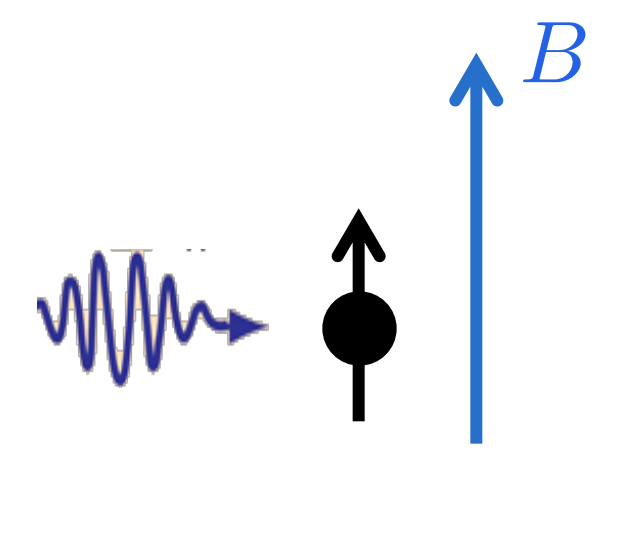


Blindagem diamagnética



Blindagem diamagnética

$$h \nu = g_p \mu_b B \qquad \qquad \blacktriangleright \qquad h \nu = g_p \mu_b (B - B_{mol})$$





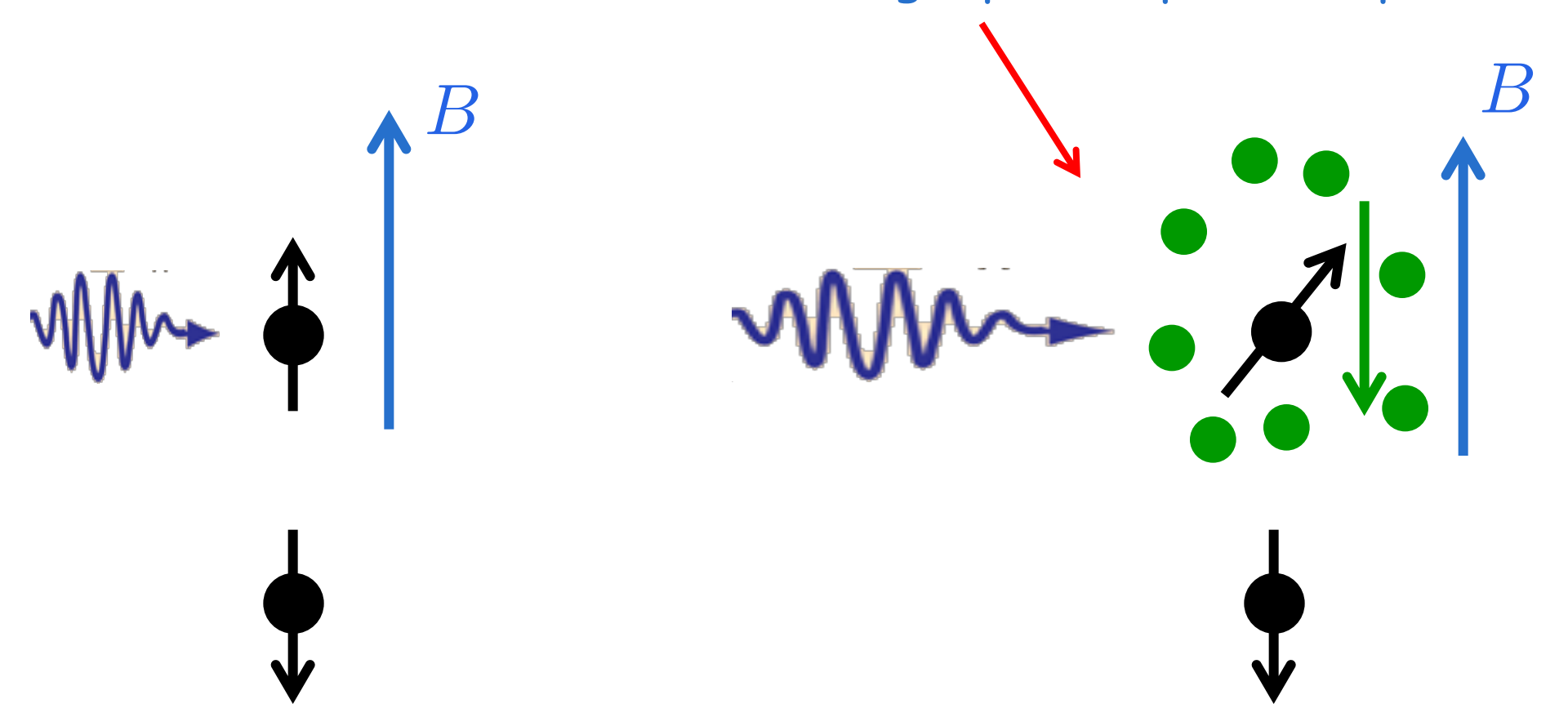
Blindagem diamagnética

$$h \nu = g_p \mu_b B$$

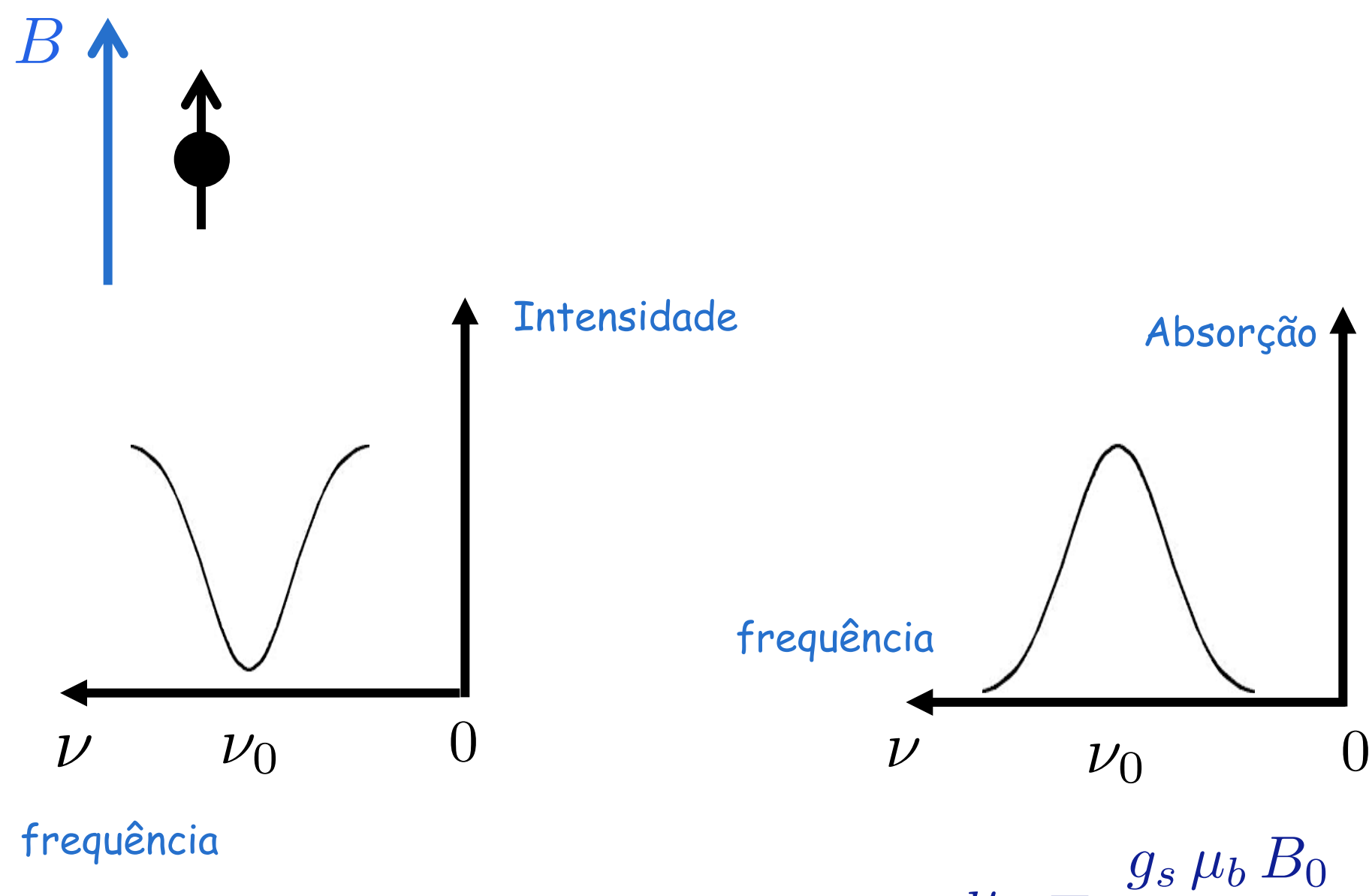


$$h \nu = g_p \mu_b (B - B_{mol})$$

Menos energia para flipar este próton

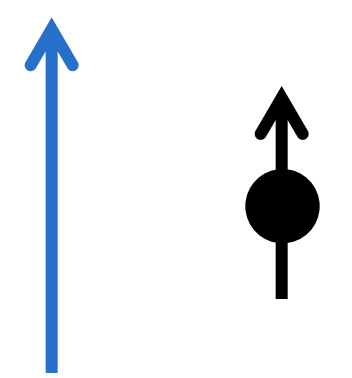


Espectro de absorção



$$\nu_0 = \frac{g_s \,\mu_b \,B_0}{h}$$

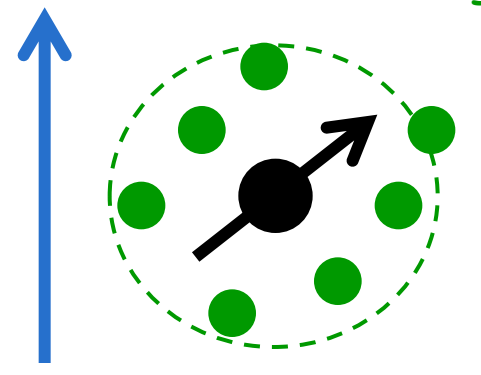
Espectro de absorção



$$\nu_0 = \frac{g_p \,\mu_b \, B_0}{h}$$

$$\nu_0 = \frac{\nu_0 \,\mu_b \, B_0}{\nu_0} \, 0$$

núvem de eletrons "bindagem"



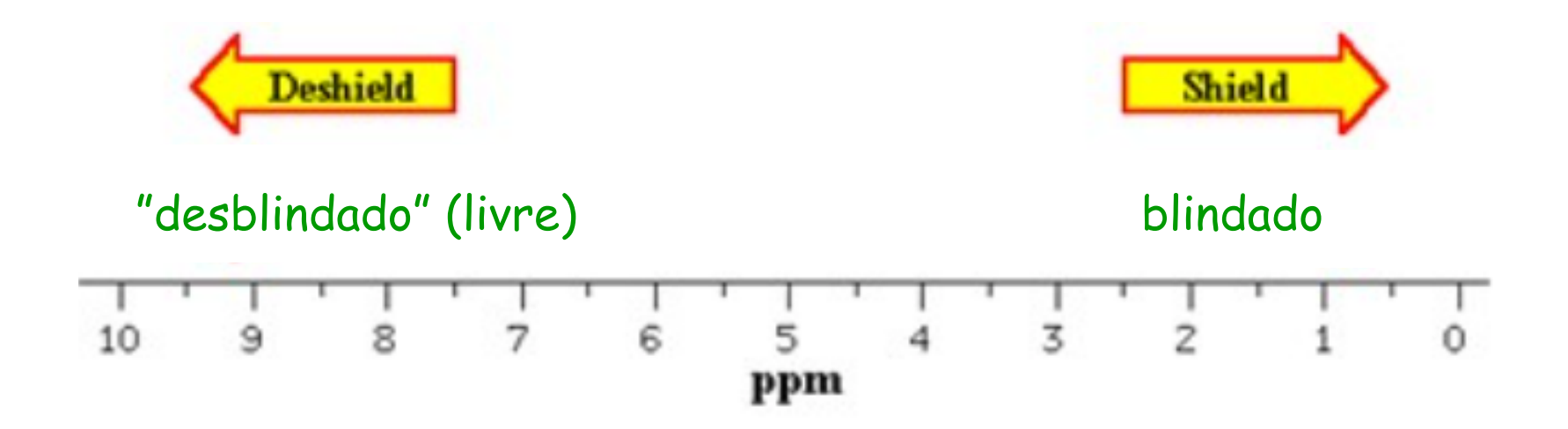
$$\nu_1 = \frac{g_p \,\mu_b \,(B_0 - B_{mol})}{h}$$

$$\nu_1 = \frac{g_p \,\mu_b \,(B_0 - B_{mol})}{\nu_1}$$

Espectro de absorção

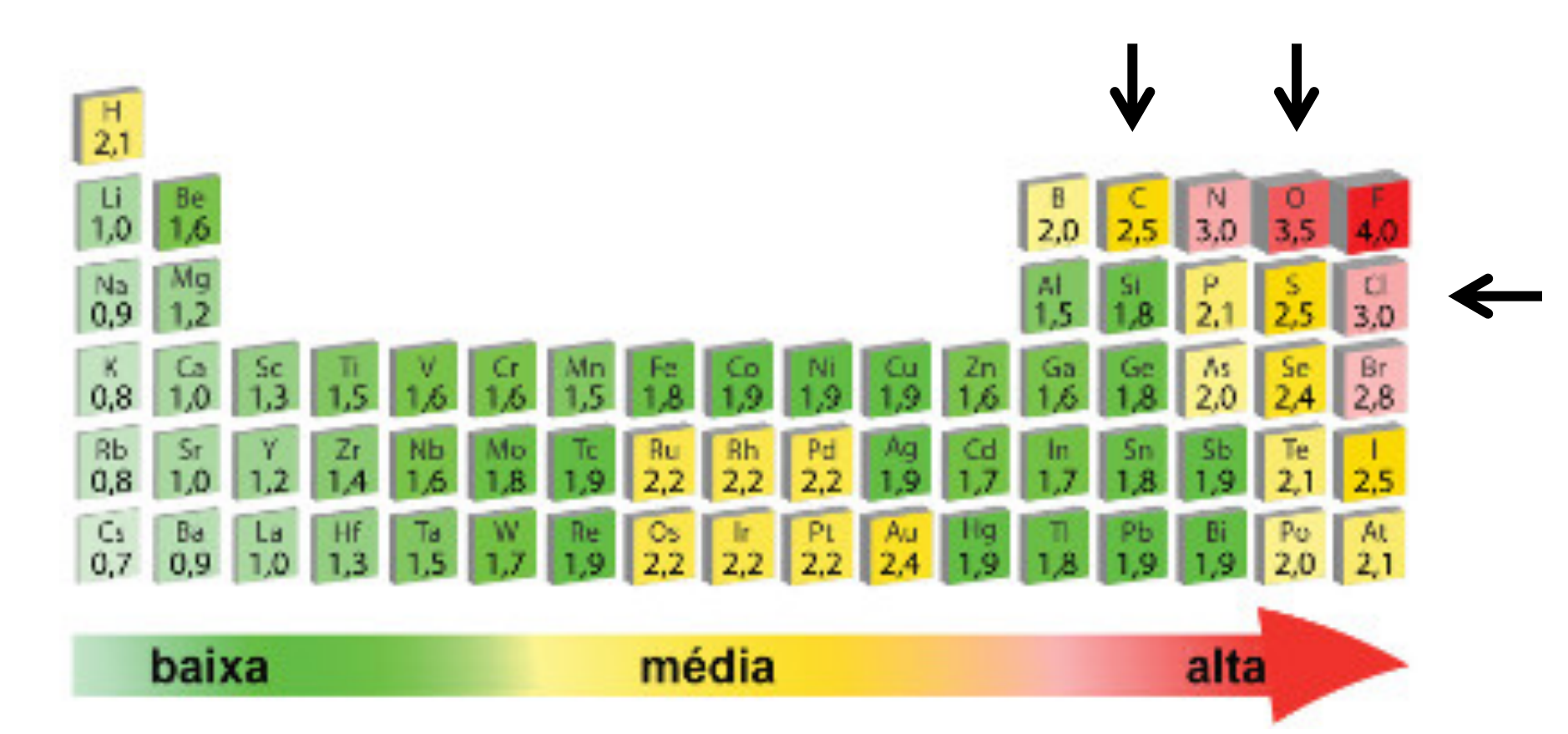
Frequência é dada em termos do "deslocamento químico" δ

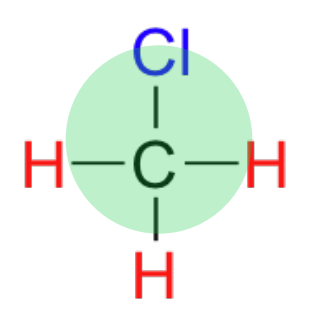
$$\delta = \frac{\nu_{sinal} - \nu_{ref}}{\nu_{ref}} \quad \text{(unidade:ppm)}$$

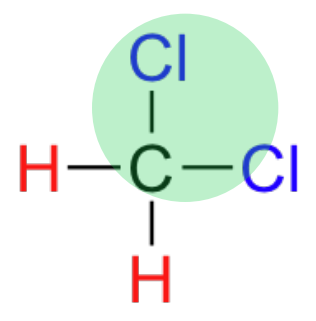


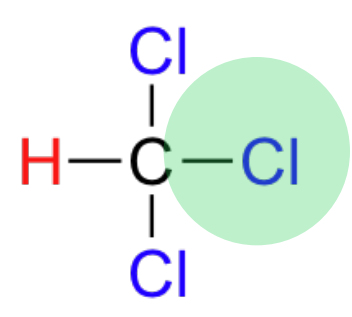
Blindagem e Eletronegatividade

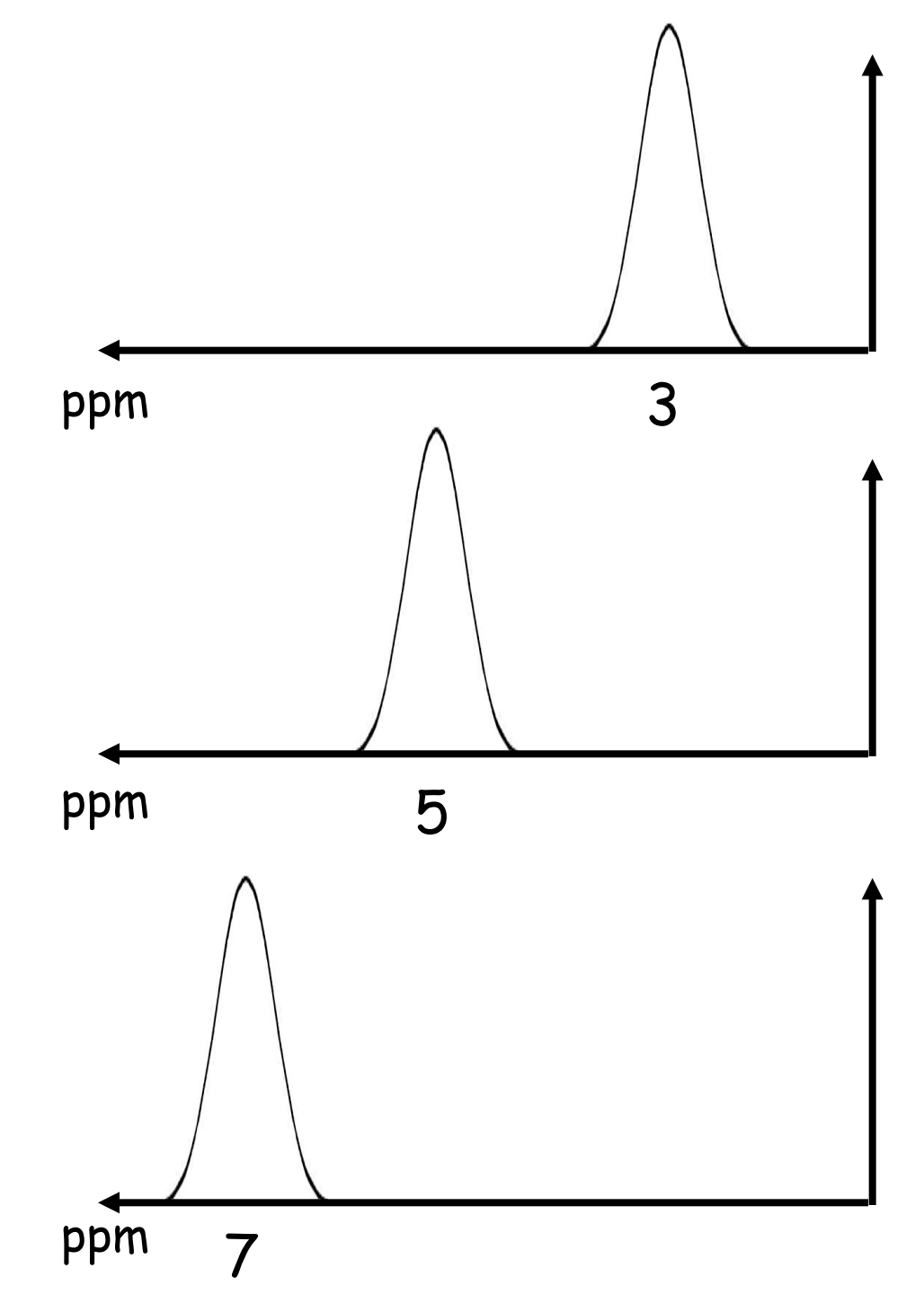
(capacidade de atrair eletrons e formar "nuvens")









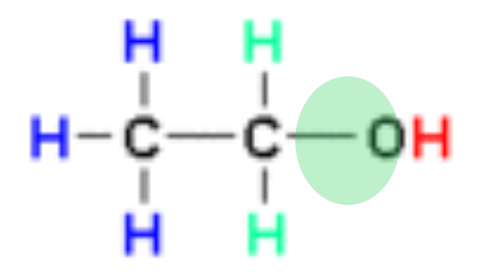


Simetria da molécula

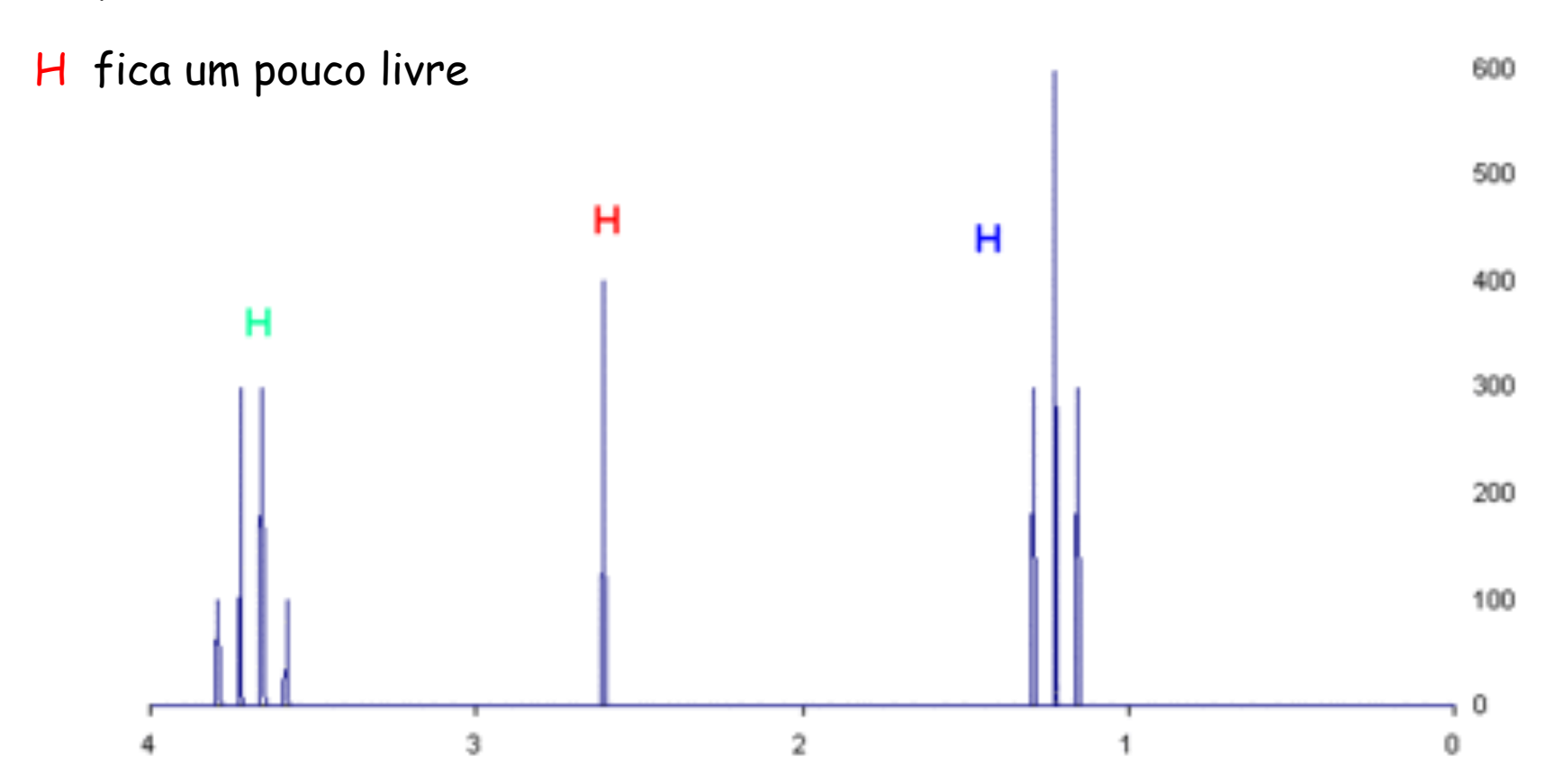
Exemplos de Resultados

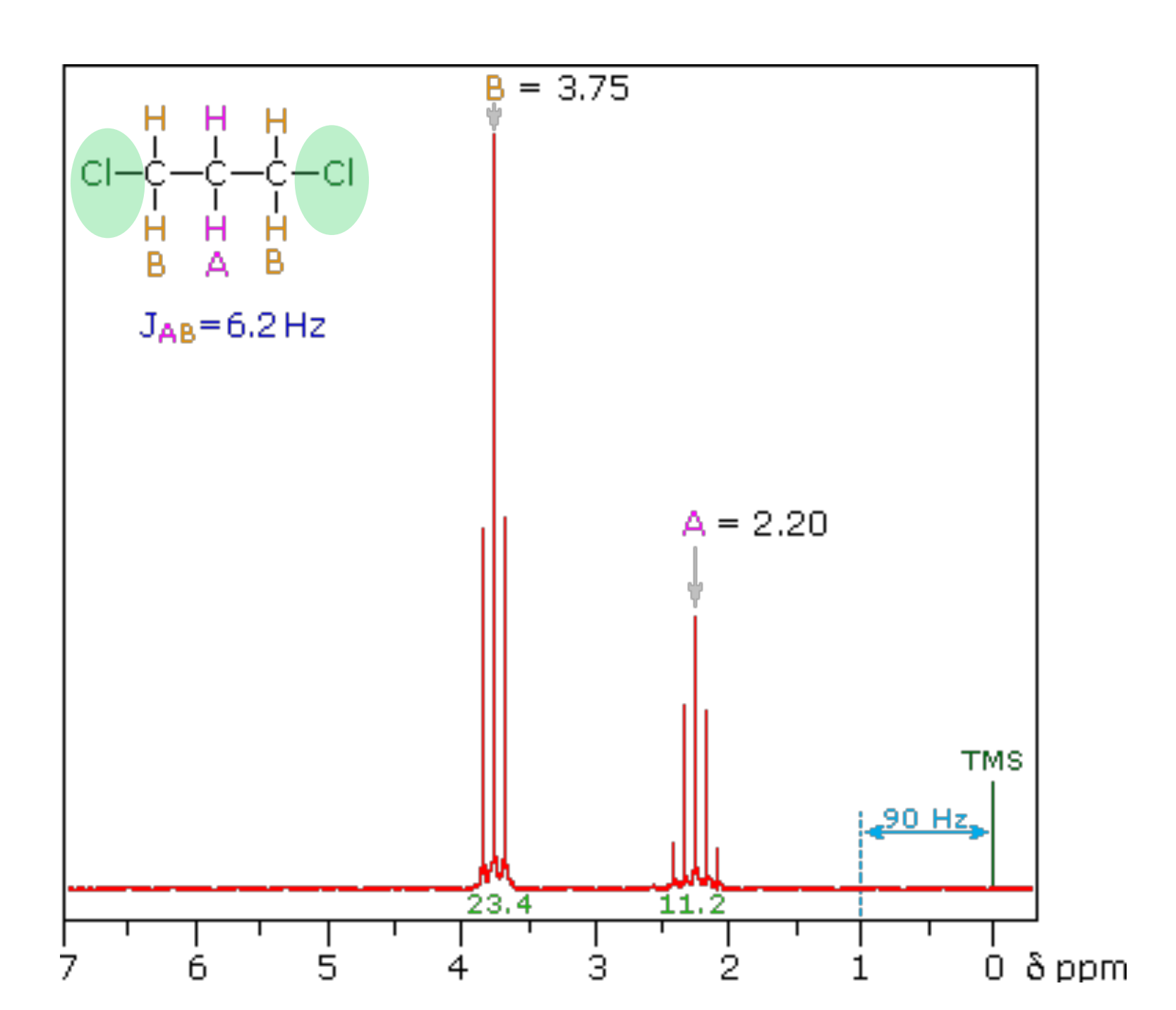
Ethanol

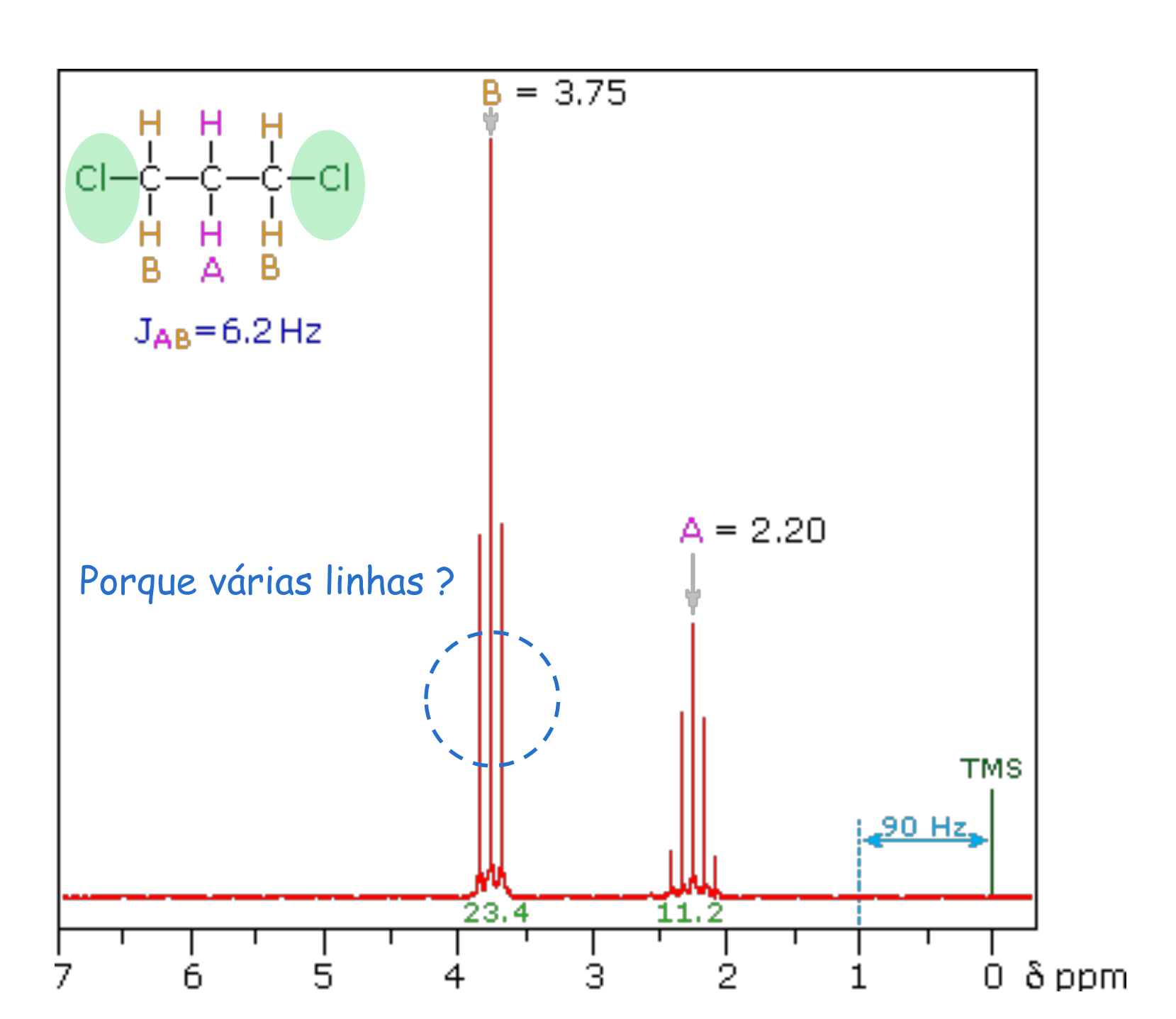
oxigênio atrai os eletrons vizinhos



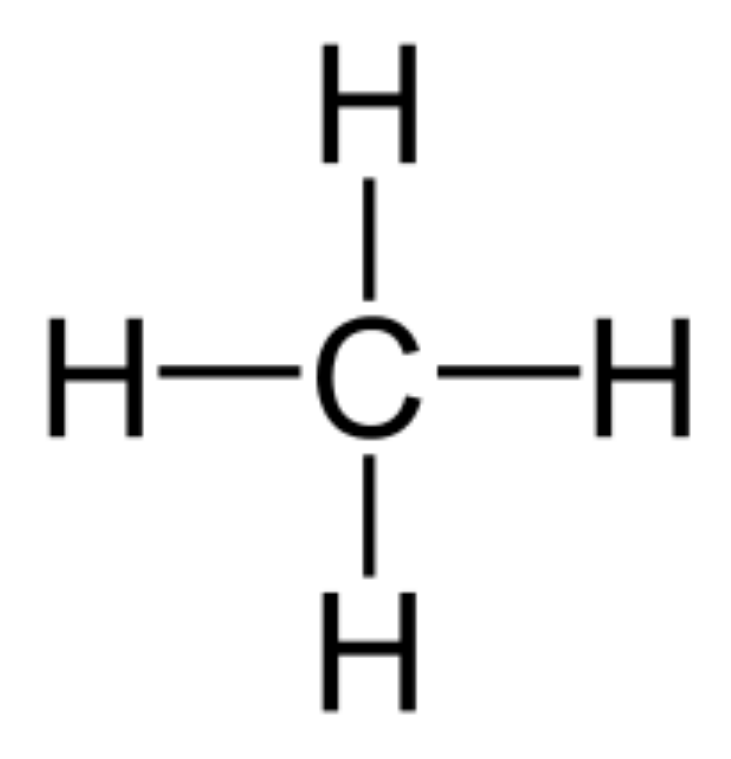
H fica mais livre



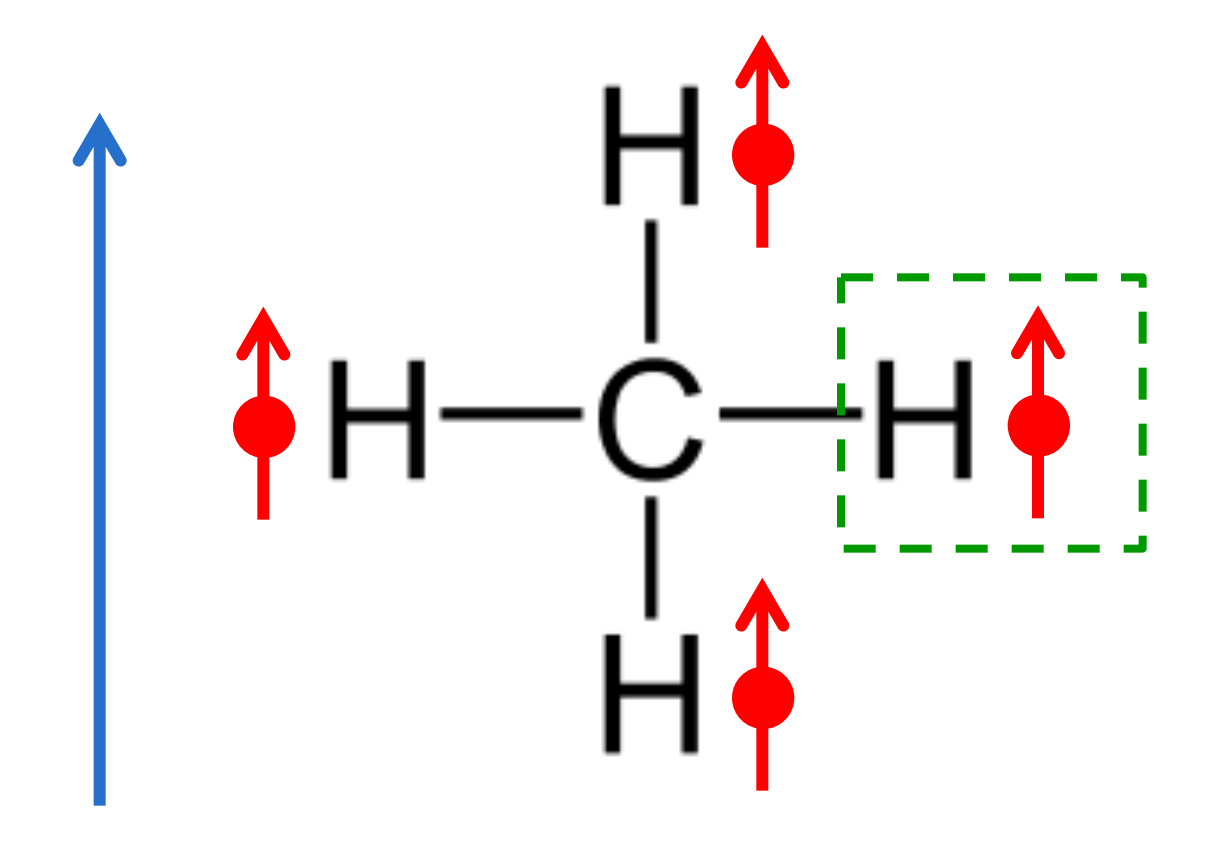




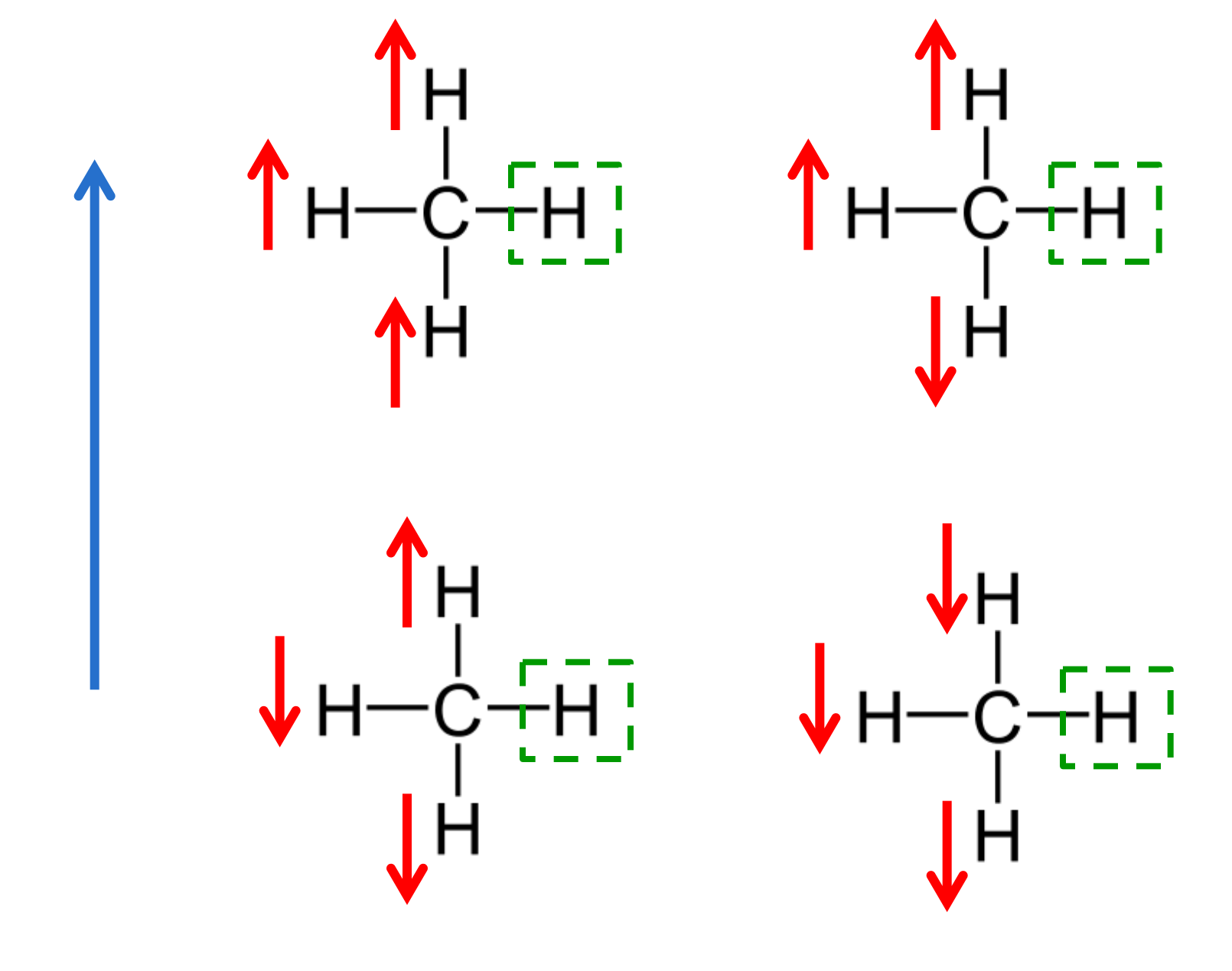
Spin dos nucleons desemparelhados vizinhos



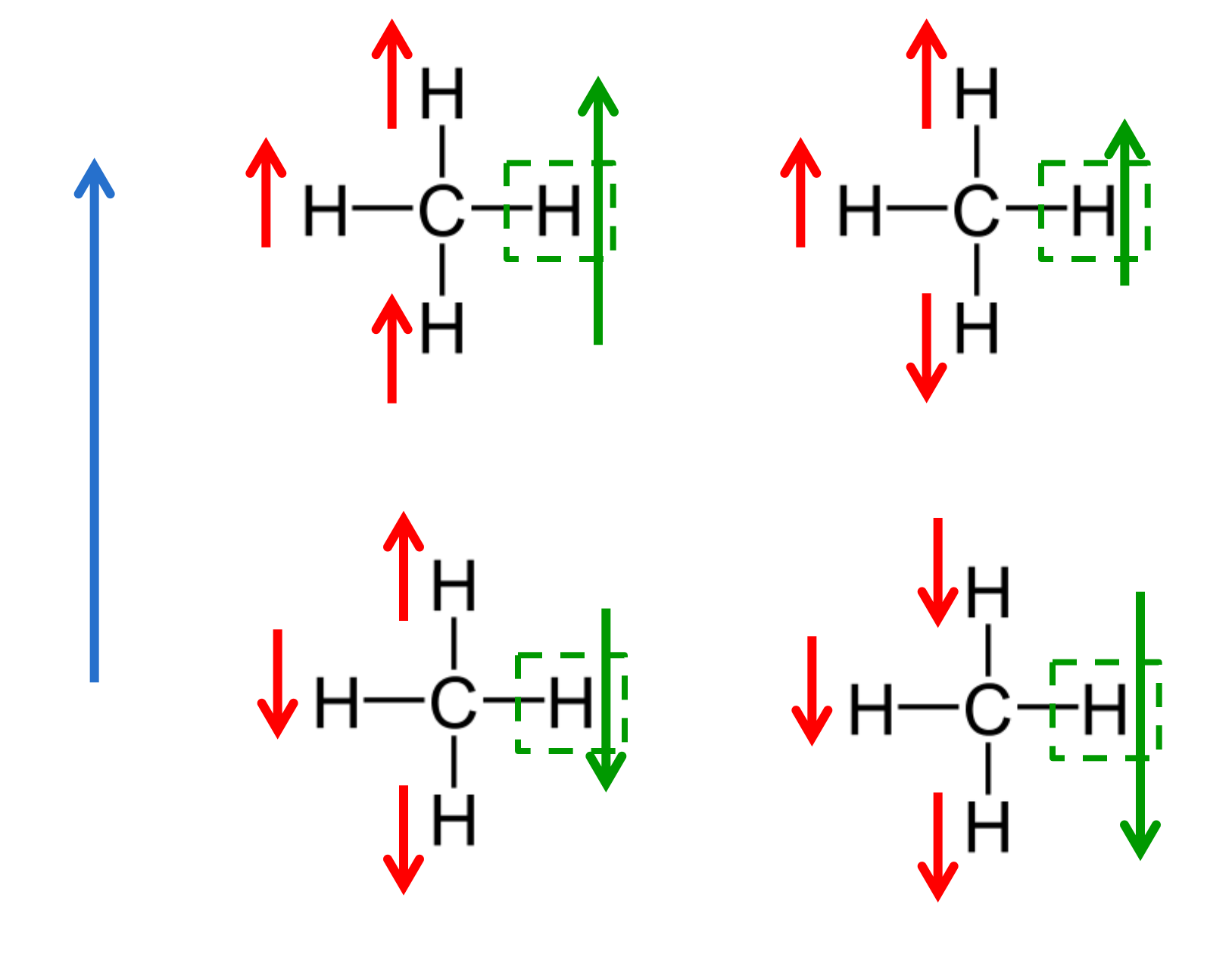
Spin dos nucleons desemparelhados vizinhos



O alinhamento não é perfeito...

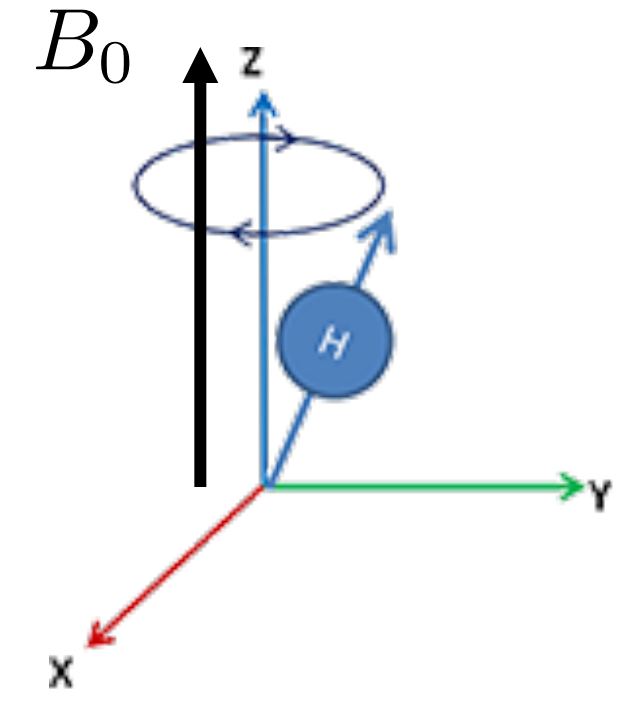


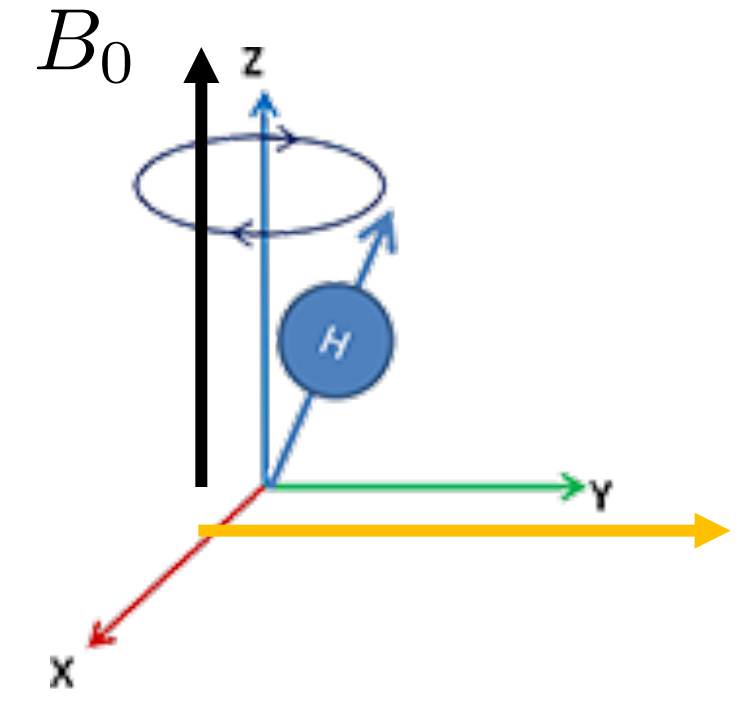
Alguns átomos não "colaboram"...

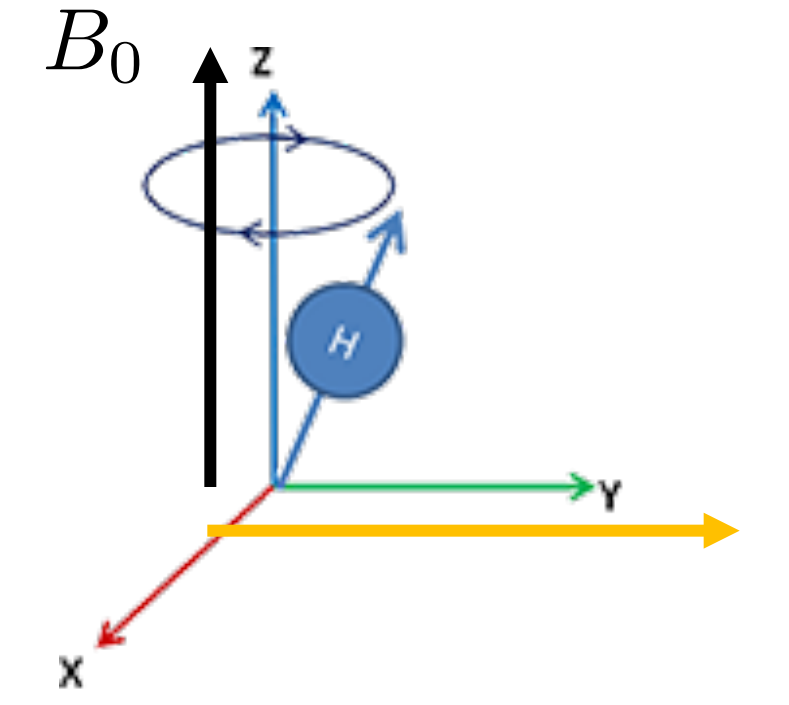


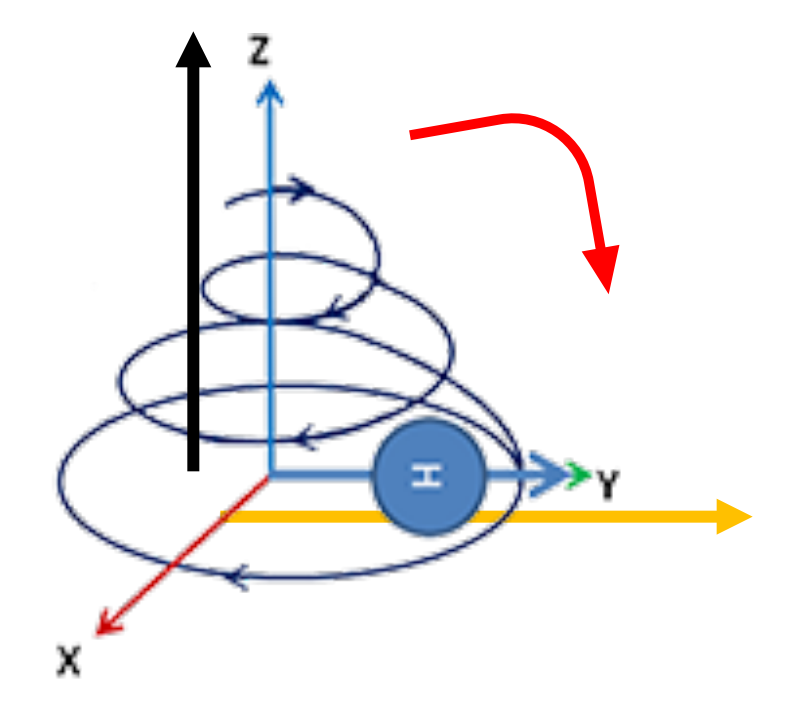
Quatro campo magnéticos efetivos agindo sobre H

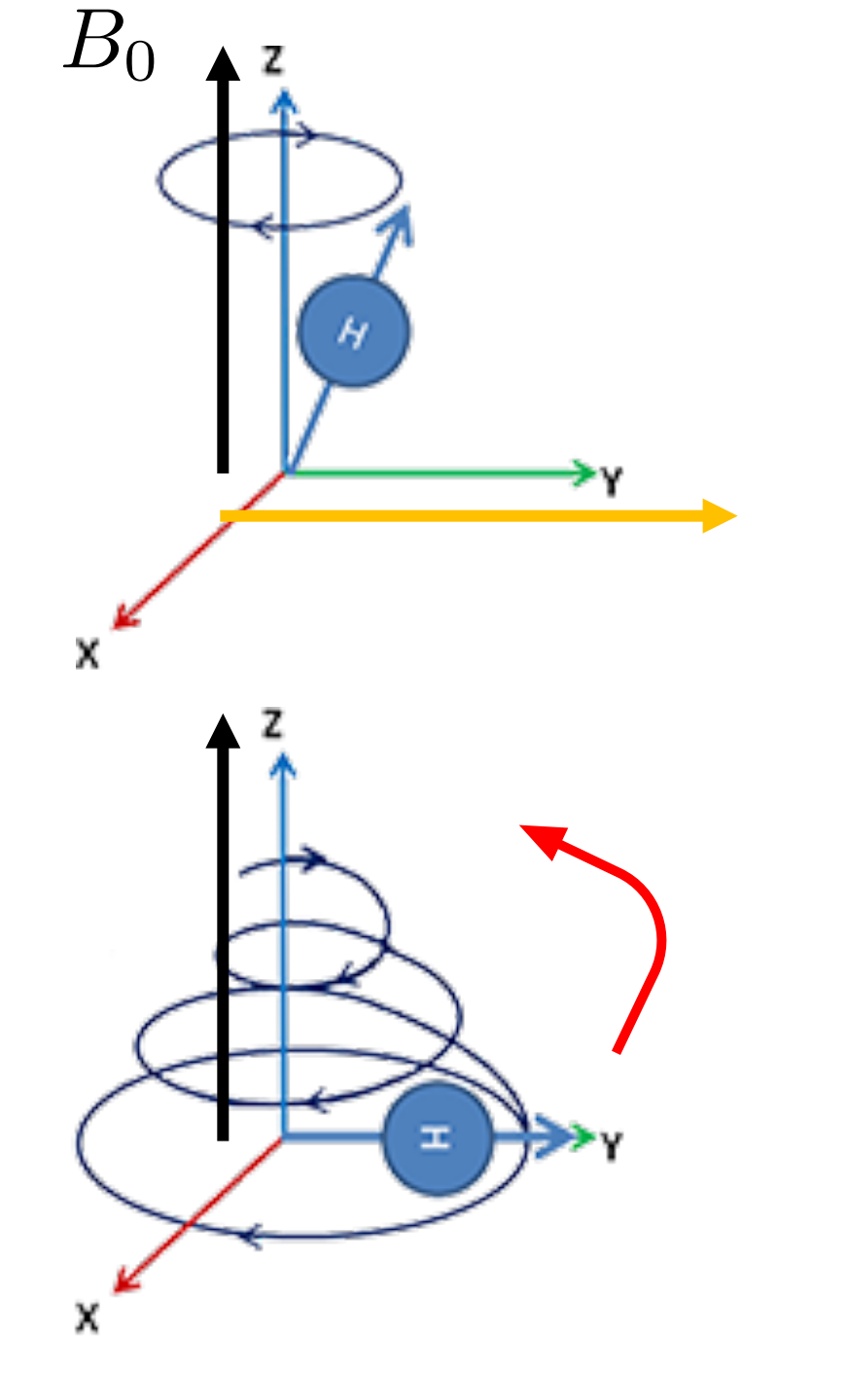
Campos Magnéticos Transversais

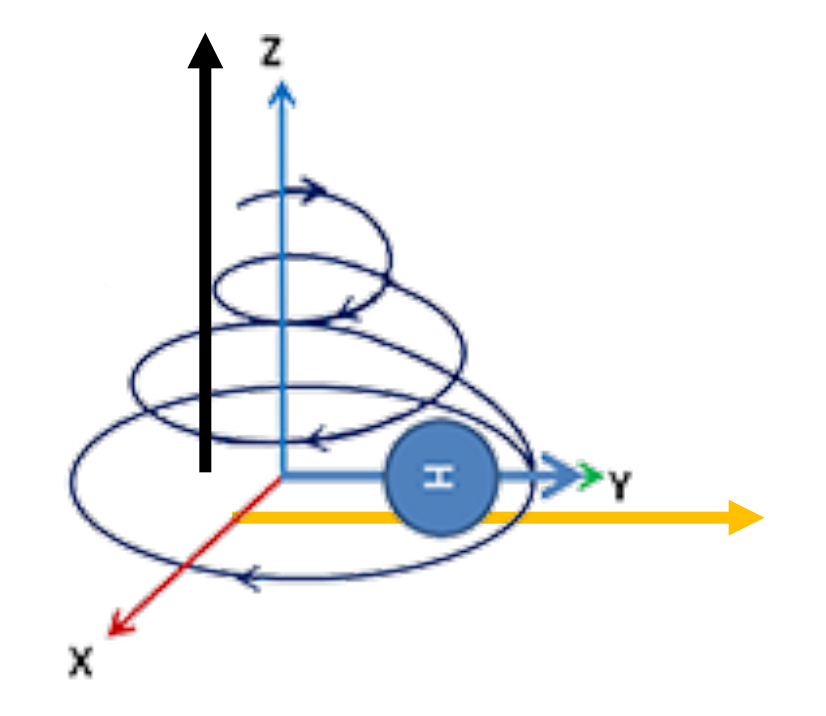


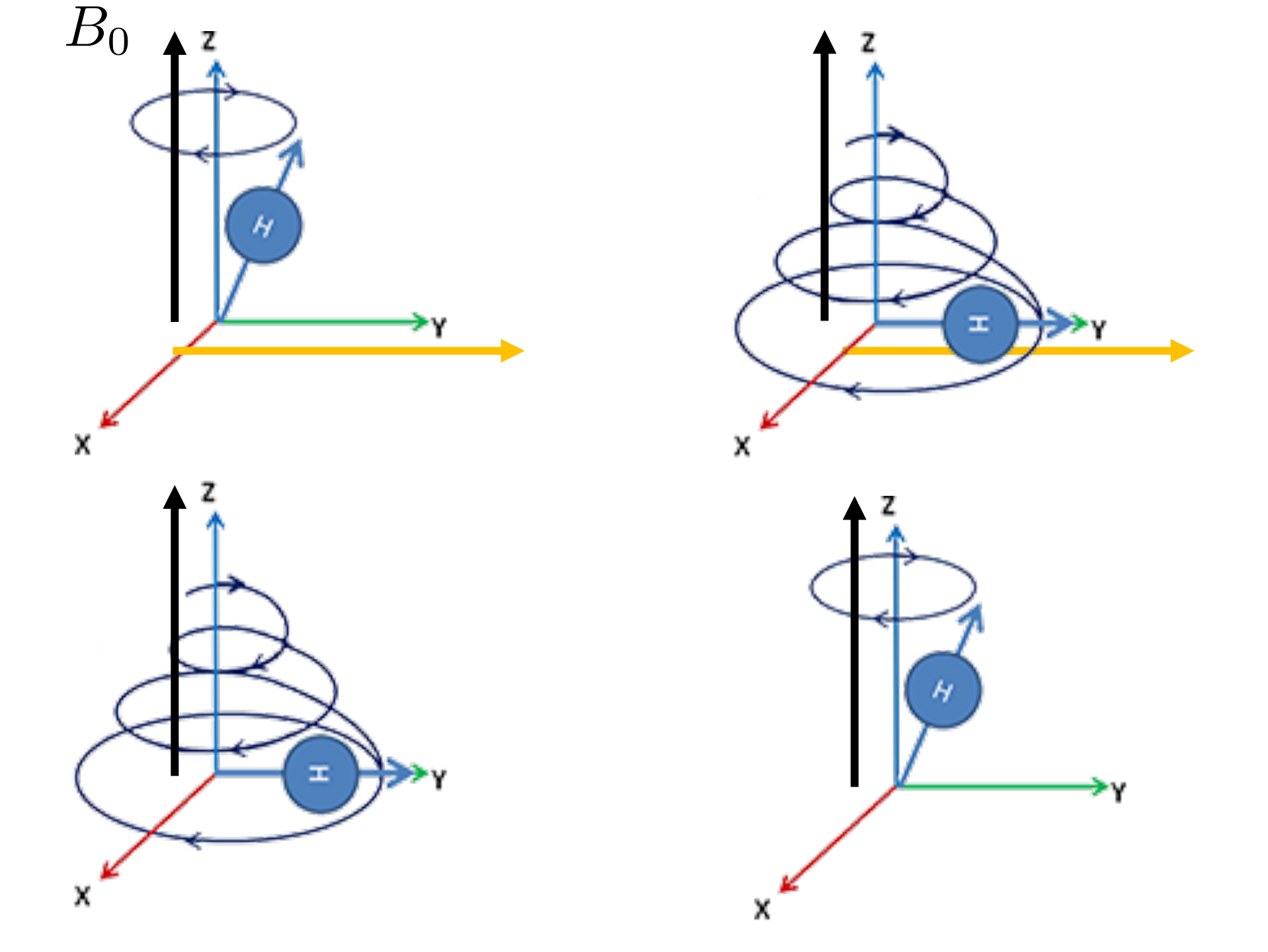


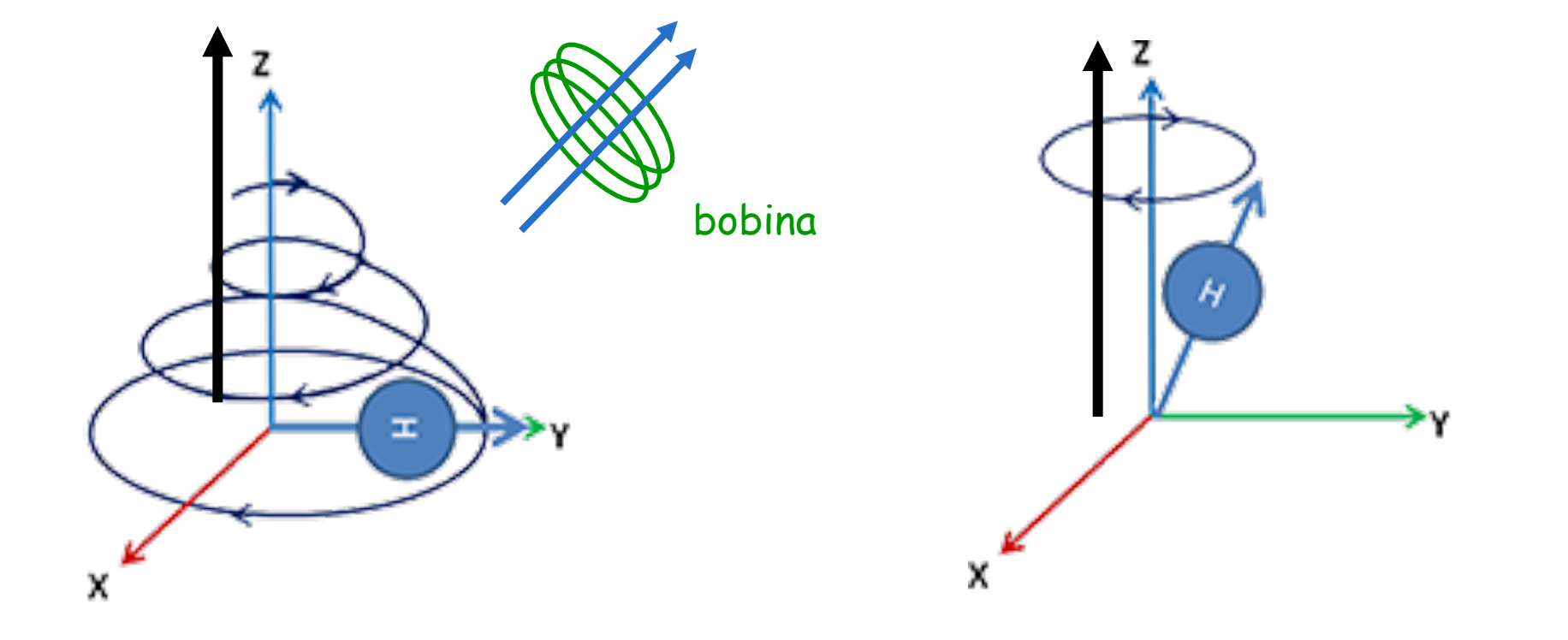












Volta à posição inicial : o fluxo magnético na bobina varia

Medimos a corrente induzida na bobina (lei de Faraday)

Corrente maior
$$\longrightarrow \frac{dB}{dt}$$
 maior \longrightarrow menor tempo de relaxação

Medimos o tempo de relaxação

O tempo de realinhamento do spin

O tempo de relaxação nos dá informações sobre o meio



Obrigado gente!

Cronologia

(e álbum de fotografias...)

- 1922 Stern-Gerlach: deve existir um novo tipo de momento angular
- 1924 Wolfgang Pauli: novo número quântico
- 1924 Wolfgang Pauli: princípio da exclusão

No mesmo ano, S. Goudsmit e G. Uhlenbeck, propuseram que este quarto número quântico fosse a componente z, m_s de um momento angular intrínseco do elétron que chamaram de spin. A noção do spin do elétron resultou ser apropriada não somente para explicar a estrutura fina e o efeito Zeeman anômalo senão também para uma grande variedade de fenômenos atômicos. (o elétron "gira" em torno de si mesmo)

- 1926 Schrödinger: nova mecânica quântica (elétron sem spin)
- 1927 Phipps Taylor: experiência de Stern-Gerlach melhorada
- 1927 Wolfgang Pauli: matrizes de Pauli
- 1928 Paul Dirac: spin vem da mecânica quântica relativística

~ 1900

Pieter Zeeman (1865 – 1943)



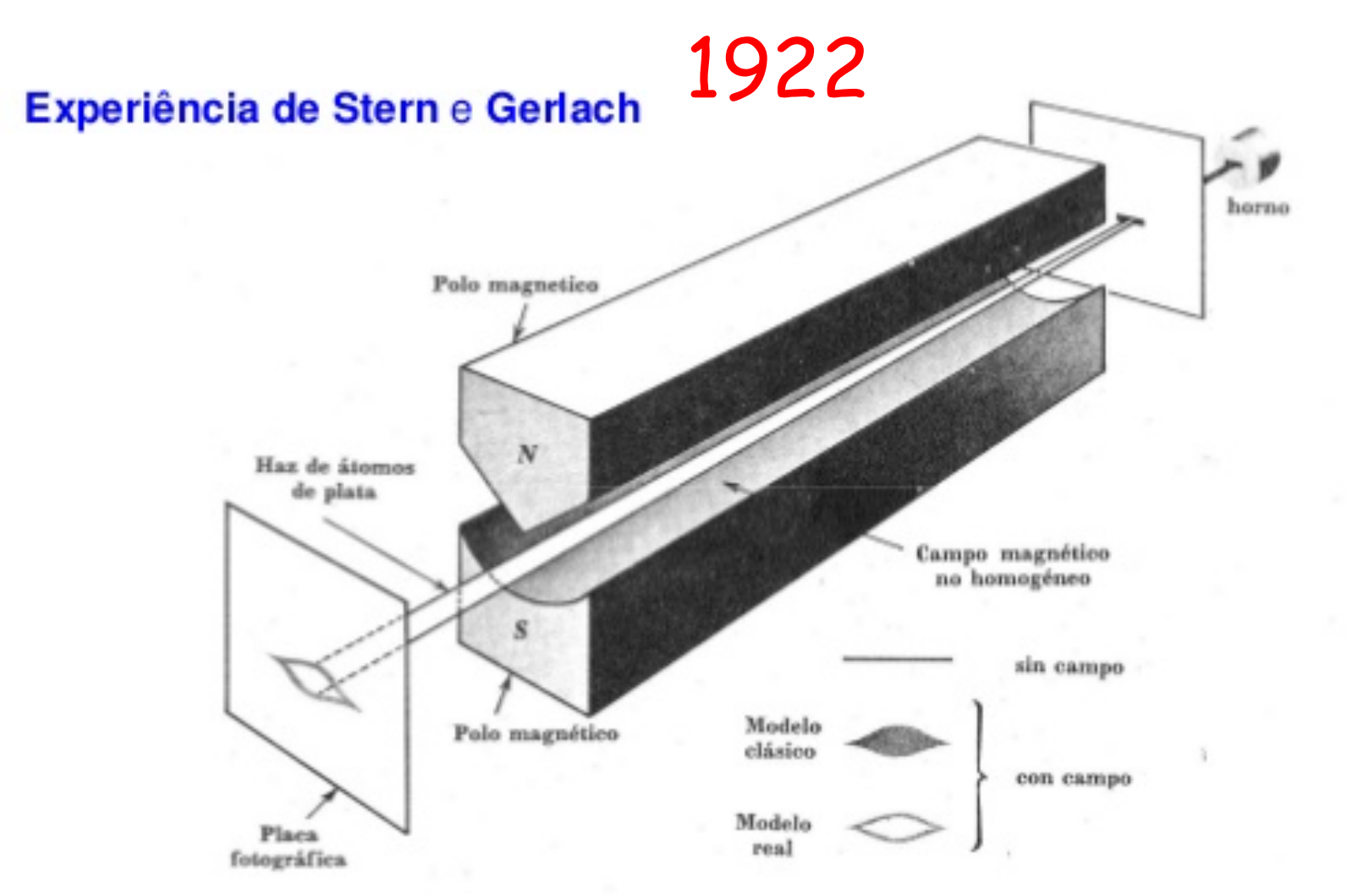
Michael Faraday tinha a idéia intuitiva de que a luz de uma fonte podia ser modificada se puséssemos a fonte num intenso campo magnético. Ele não teve sucesso ao tentar realizar este experimento porque seu equipamento não possuía resolução suficiente para permitir a observação deste pequeno efeito. Em 1896, o físico holandês Zeeman repetiu a experiência com equipamentos mais sensíveis e observou que as linhas espectrais eram alargadas num forte campo magnético. Com campos mais intensos e melhor resolução, é possível ver as linhas se dividirem em componentes cuja separação aumenta de modo proporcional ao campo. A descoberta do efeito Zeeman, que tanto contribuiu para o nosso conhecimento da estrutura atômica, foi praticamente ignorada até que sua importância foi apontada por Lord Kelvin. Zeeman recebeu o prêmio Nobel de física de 1902.



Zeeman, Eintein, Ehrenfest

A quantização espacial, isto é, a noção de que um vetor momento angular atômico L ou um vetor momento magnético μ só podem possuir um conjunto discreto de projeções sobre um eixo determinado, foi prevista teoricamente por Wolfgang Pauli, e comprovada experimentalmente em 1922 por Otto Stem e Walther Gerlach.

Nesse experimento, os átomos provenientes de um forno são colimados, passam por um campo magnético não uniforme e incidem sobre uma placa coletora. As imagens obtidas por Stern e Gerlach usando um feixe de átomos de prata, mostram que, na ausência do campo magnético, todos os átomos atingem a placa coletora em uma linha localizada na região central. No seu estado normal, o momento magnético de um átomo de prata é devido ao spin do elétron de valência. Na presença de um campo magnético não homogêneo eles observaram que a linha se divide em duas partes que correspondem as duas orientações de spin permitidas, +½ e -½

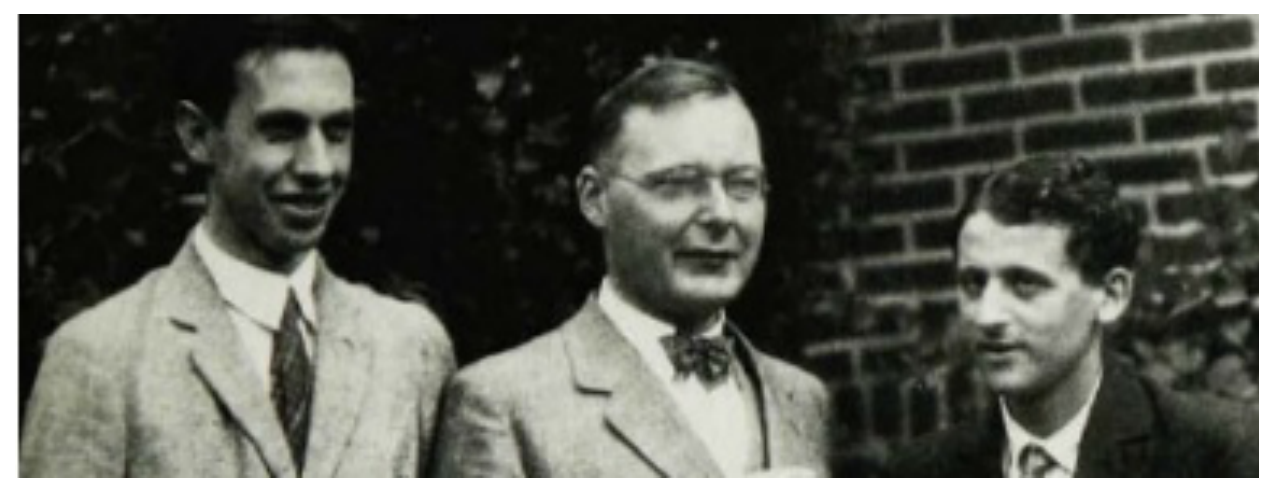


Os átomos de prata produzidos no forno, são agrupados num feixe estreito que passa entre os pólos de um eletroímã e se deposita sobre uma placa de vidro. Os átomos de prata são eletricamente neutros, mas possuem um momento magnético. Na experiência observou-se que o feixe se divide em componentes discretas (dois sub-feixes), demonstrando a quantização espacial.

Otto Stern (1888-1969)



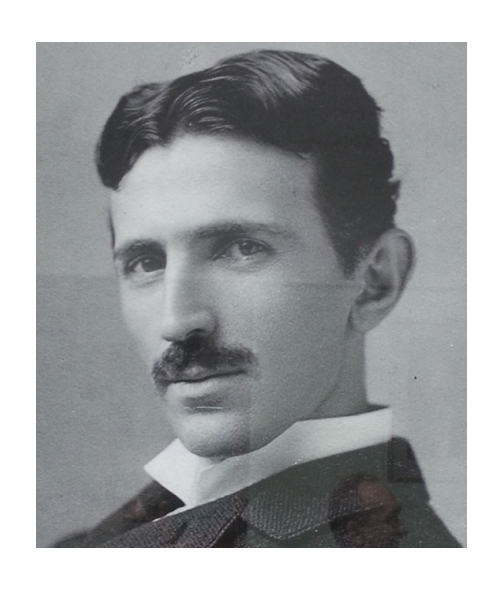
Professor de física do Carnegie Institute of Technology e da Universidade de California, Berkeley. Suas contribuições em física experimental inclui o desenvolvimento do método de feixes moleculares, a observação direta da quantização espacial e o spin eletrônico. Stern e Gerlach verificaram que um feixe de átomos sujeitos a um campo magnético é desviado em conformidade com a orientação dos momentos magnéticos. Stern realizou medidas de momentos magnéticos atômicos, demonstrou a natureza ondulatória de átomos e moléculas e participou da descoberta do momento magnético do próton. Prêmio Nobel em 1943.

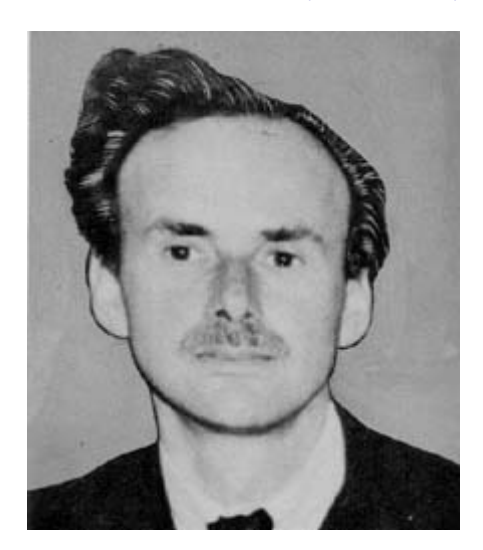


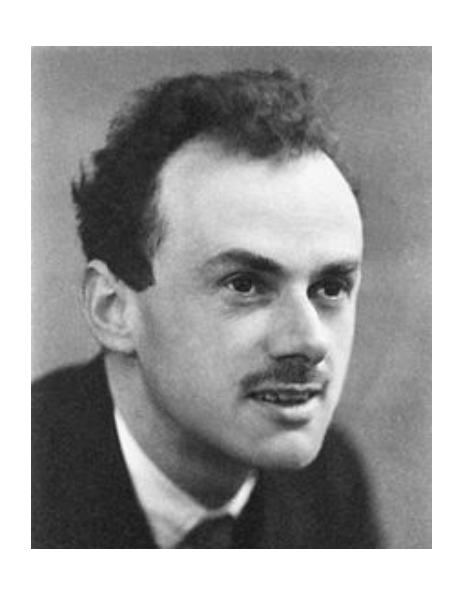
Uhlenbeck Goudsmit

Para explicar a observação da estrutura fina no átomo de hidrogênio e ao mesmo tempo conciliar a tabela periódica com o princípio de exclusão, **W.**Pauli sugeriu em 1925 que além dos números quânticos *n*, *l* e *m* o elétron possuía um quarto número quântico, que podia assumir apenas dois valores. No mesmo ano, **S. Goudsmit** e **G. Uhlenbeck**, propuseram que este quarto número quântico fosse a componente z, m_s de um momento angular intrínseco do elétron que chamaram de spin. A noção do spin do elétron resultou ser apropriada não somente para explicar a estrutura fina e o efeito Zeeman anômalo senão também para uma grande variedade de fenômenos atômicos.

← (vento)







Em 1928 Dirac mostrou – com base num tratamento quântico relativistico - que partículas com a massa e a carga do elétron devem ter spin e o momento magnético atribuído por Goudsmit e Uhlenbeck. Qualquer partícula fundamental possui seu spin e seu momento magnético característicos. As conseqüências da existência do spin mostraram ser de grande valor prático, possibilitando o fenômeno de ressonância magnética.

~ 1938

Isidor Isaac Rabi (1898 - 1988)



Doutorado na Universidade de Columbia em 1927 com uma tese sobre as propriedades magnéticas de cristais. Em 1940 trabalhou como diretor associado do laboratório do MIT, no desenvolvimento do radar e da bomba atômica. Em 1939, no seguimento das experiências de Stern e Gerlach submeteu um feixe de moléculas de hidrogênio, primeiro a um campo magnético não homogêneo e, depois, a um campo homogêneo ao mesmo tempo que aplicavam radiação de RF

(radio-frequências). Rabi e seus colaboradores observaram que para certo valor de frequência bem definido, o feixe molecular absorvia energia. Esta seria a primeira observação de ressonância magnética nuclear.



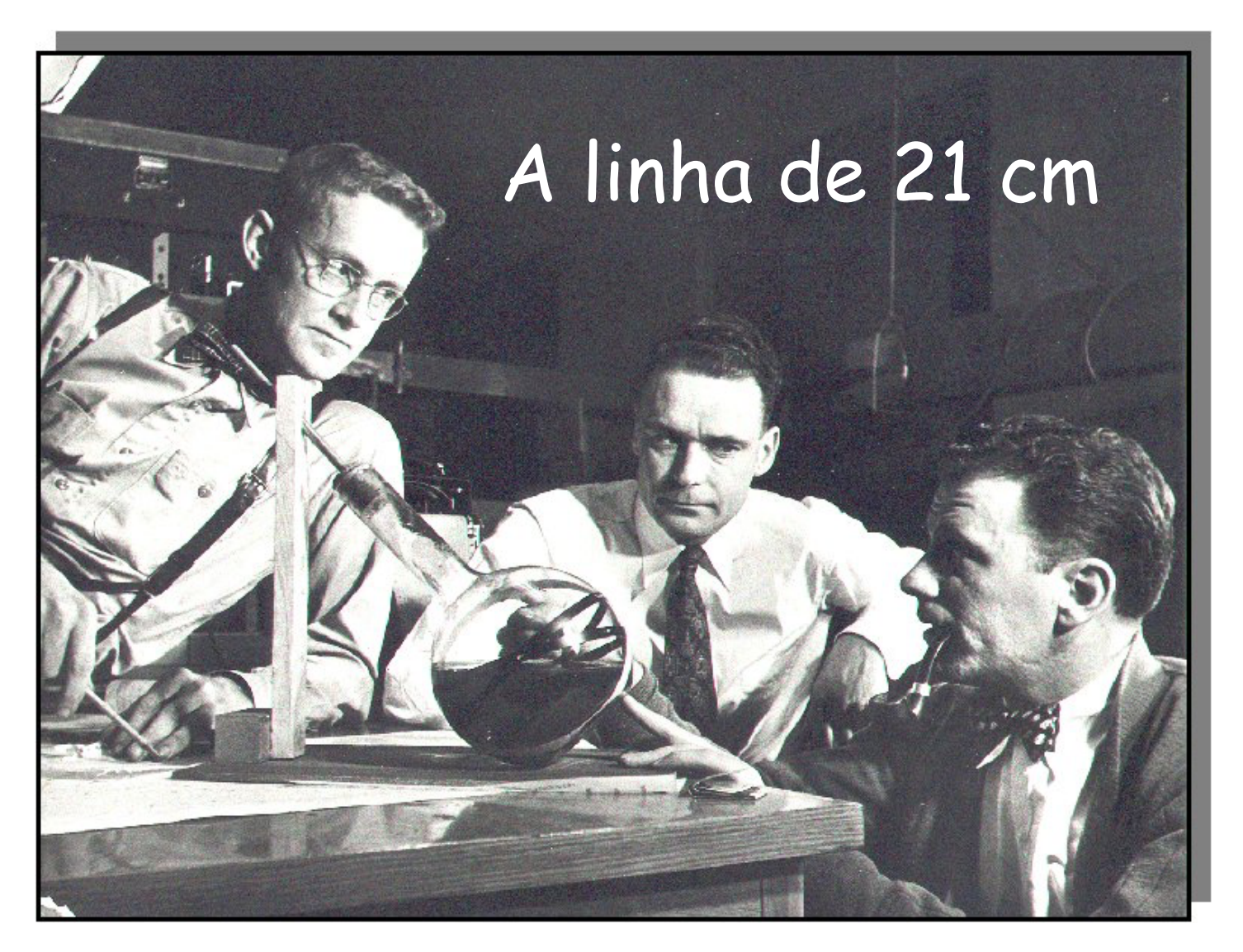
Felix Bloch, Prêmio Nobel em 1952 pela descoberta da ressonância magnética nuclear. (Standford.edu)

1945 - E. Zavoisky: primeira observação de Ressonância Paramagnética Eletrônica em CuCl₂ 2H₂O a 133 MHz. J. Frenkel: interpreta os resultados de Zavoisky como sendo RPE



Y.K. Zavoisky

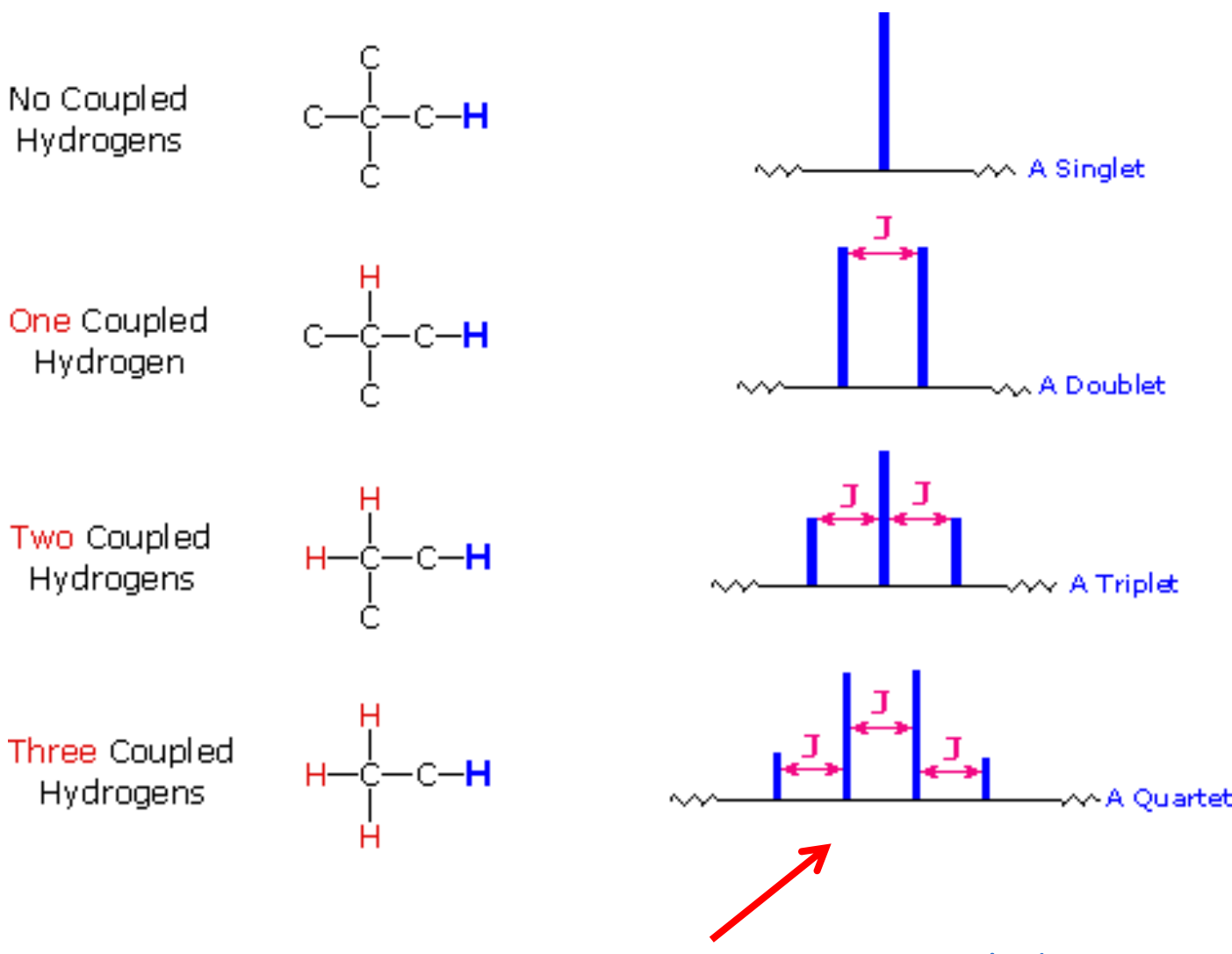




Purcell Ewen



Desdobramento das linhas espectrais



Quatro campos, quatro energias, quatro linhas